

## نقش lncRNA ها در پیدایش سرطان

محمد رضا نوری دلویی<sup>۱</sup>، یگانه اسحق خانی<sup>۲</sup><sup>۱</sup> استاد، دکتری ژنتیک مولکولی پزشکی، گروه ژنتیک پزشکی، دانشکده پزشکی، دانشگاه علوم پزشکی تهران<sup>۲</sup> دانشجوی دکتری تخصصی ژنتیک پزشکی، گروه ژنتیک پزشکی، دانشکده پزشکی، دانشگاه علوم پزشکی تهران

## چکیده

سرطان، بیماری پیچیده‌ای است که بیان ژن در آن به صورت نامتعادل انجام می‌پذیرد. عامل‌های ژنتیکی درگیر در ایجاد سرطان، به نحو قابل توجهی مورد مطالعه قرار گرفته‌اند. با این وجود، شواهد نشان داده‌اند که بخش چشم‌گیری از عامل‌های مستعدکننده به سرطان را نمی‌توان به تغییر در توالی‌های کدکننده پروتئین نسبت داد. شناسایی شمار زیادی از RNAهای غیر کدکننده بلند (long non-coding RNAs یا lncRNAs) با طول بیشتر از ۲۰۰ جفت باز در انسان، به پرده‌برداری از جایگاه این مولکول‌ها در آسیب‌شناسی سرطان و نقش آن‌ها به عنوان اجزای مهم در تومورزایی، کمک شایانی نموده است. نقش lncRNAها به عنوان عامل‌های سرکوب‌گر تومور یا آنکوژن‌ها، در انواع متعددی از سرطان‌های شایع به اثبات رسیده است. مطالعات اخیر نشان می‌دهند که چندین جایگاه خطر موثر در ایجاد سرطان، به lncRNAها رونویسی می‌شوند و رونوشت‌های حاصل، نقش‌های کلیدی در فرایند تومورزایی ایفا می‌کنند. در مقاله مروری چاپ شده در فصل گذشته از سوی نگارندگان، به تفضیل در مورد سازوکارهای بنیادی عملکرد lncRNAها در تنظیم بیان ژن در سطوح متفاوت اپی‌ژنتیکی، رونویسی، پس از رونویسی، و نیز برهم‌کنش این مولکول‌ها با سایر عامل‌های حیاتی تعیین‌کننده سرنوشت سلول، از جمله DNA، پروتئین‌ها و سایر RNAها بحث شد. با توجه به این‌که بخش قابل توجهی از آسیب‌شناسی سرطان، معطوف به lncRNAها است، مقاله‌ی مروری حاضر، به بررسی و بحث در مورد همراهی ویژه‌ی برخی از lncRNAها با سرطان‌های خاص، چگونگی تاثیر آن‌ها در سازوکارهای پیدایش سرطان، و اهمیت آن‌ها در کسب فرصت‌هایی جهت تشخیص و پیش‌آگهی سرطان پرداخته است.

واژگان کلیدی: ncRNA، lncRNA، سرطان، تشخیص، پیش‌آگهی.

## مقدمه

مشابه ژن‌های کدکننده پروتئین، ژن‌های کدکننده ncRNA نیز می‌توانند به عنوان آنکوژن‌های تومورزا و یا ژن‌های سرکوب‌گر تومور عمل کنند. برخی از ژن‌های کدکننده ncRNA بسیار حفظ شده (T-UCEs)، به وفور در جایگاه‌های شکننده و نواحی ژنومی مرتبط با سرطان (cancer-associated genomic regions یا CAGRs) یافت می‌شوند؛ از جمله نواحی بسیار کوچکی که در سرطان دست‌خوش تکثیر

می‌شوند یا فقدان هتروزیگوسیتی در آن‌ها رخ می‌دهد (۱). آنالیزهای بیشتر، T-UCEsها را به عنوان ژن‌های درگیر در پردازش و اتصال به RNA معرفی کرده‌اند (۲). هم‌چنین برخی از این عناصر، دارای توالی‌های مشابه با عناصر تقویت‌کننده رونویسی هستند و به صورت فزاینده‌هایی به سمت بخش دیگری از توالی DNA فراخوانده می‌شوند. گاهی رونوشت‌های حاصل از این ژن‌ها به عنوان عامل‌های آنتی‌سنس عمل کرده، و جایگاه‌های ژنی سرکوب‌گر تومور را خاموش می‌نمایند. شایان ذکر است که اتصال انتخابی برخی از این رونوشت‌ها به مجموعه‌های پروتئینی درگیر در فرایندهای اپی‌ژنتیکی و تغییردهنده حالت کروماتین، تاثیر بسیار چشم‌گیری بر بیان ژن می‌گذارد (۳).

آدرس نویسنده مسئول: تهران، دانشگاه علوم پزشکی تهران، دانشکده پزشکی، گروه ژنتیک پزشکی،

محمد رضا نوری دلویی (email: nooridaloi@sina.tums.ac.ir)

تاریخ دریافت مقاله: ۹۴/۴/۱۶

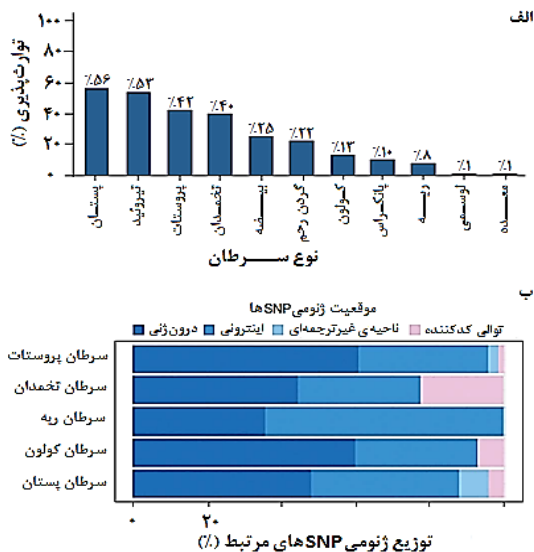
تاریخ پذیرش مقاله: ۹۴/۶/۲۳

## همراهی ژنتیکی lncRNA ها و سرطان

استعداد ابتلا به سرطان، تا اندازه‌ای ناشی از توارث عامل‌های ژنتیکی قابل توجهی است که بسته به نوع سرطان، متفاوت می‌باشند (۴، ۵) (شکل ۱-الف). به نحو شگفت برانگیزی، شمار زیادی از مطالعات همراهی گسترده ژنومی (GWAS)، جایگاه‌های خطر مرتبط با سرطان را در خارج از نواحی کد کننده پروتئین شناسایی کرده‌اند. برای نمونه، در یک سایت اینترنتی با نشانی <http://www.genome.gov/gwastudies/>، کاتالوگی از مطالعات GWAS وجود دارد که به کمک آن می‌توان SNP های مرتبط با سرطان را در محتوای ژنوم، مورد ارزیابی قرار داد. از کل ۳۰۱ عدد SNP که تا سال ۲۰۱۳ در ارتباط با سرطان شناسایی شده بود، تنها ۱۲ عدد (۳/۳ درصد) با تغییر در توالی آمینواسیدی پروتئین همراه بوده، و نسبت بزرگی از آن‌ها در اینترون‌های ژن‌های کد کننده پروتئین (۴۰ درصد) یا در نواحی بین‌ژنی (۴۴ درصد) واقع بودند (شکل ۱-ب) (۴). این مشاهده بسیار پرسش برانگیز، موجب جهت‌گیری پژوهش‌های بسیار وسیع به سمت کشف عملکرد این جایگاه‌های غیر کدکننده و نقش آن‌ها در ایجاد سرطان شد. این مطالعات به شناسایی lncRNA هایی منجر شد که از جایگاه‌های غیر کد کننده خطرناک برای سرطان رونویسی می‌شوند، که SNP های موجود در آن‌ها با استعداد ابتلا به سرطان همراه است. برای نمونه، یک SNP به شکل rs944289 در ناحیه‌ی 14q13.3 وجود دارد که همراهی بالایی با کارسینومای پاپیلاری تیروئید (PTC) دارد، و بر عملکرد یک lncRNA سرکوب‌گر تومور اثر می‌گذارد (۵). از طرفی دیگر، یک lncRNA سرکوب‌گر تومور به نام نامزد ۳ استعداد ابتلا به PTC (PTC susceptibility candidate 3 یا PTCSC3) که بیان آن به شدت در PTC کاهش می‌یابد، در این ناحیه شناسایی شده است. گزارش شده است که یک SNP موجود در این جایگاه، از اتصال پروتئین‌های C/EBP به پروموتور PTCSC3 ممانعت کرده و موجب کاهش بیان این lncRNA می‌شود. PTCSC3 که فعالیت سرکوب‌گری تومور دارد، بیان ژن‌های درگیر در همانندسازی و ترمیم DNA، مورفولوژی تومور، حرکت و مرگ سلول را کنترل می‌کند. این مطالعه، اولین دانشی بود که از ارتباط یک SNP مرتبط با سرطان با تغییر بیان یک lncRNA سرکوب‌گر تومور حاصل شد (۵).

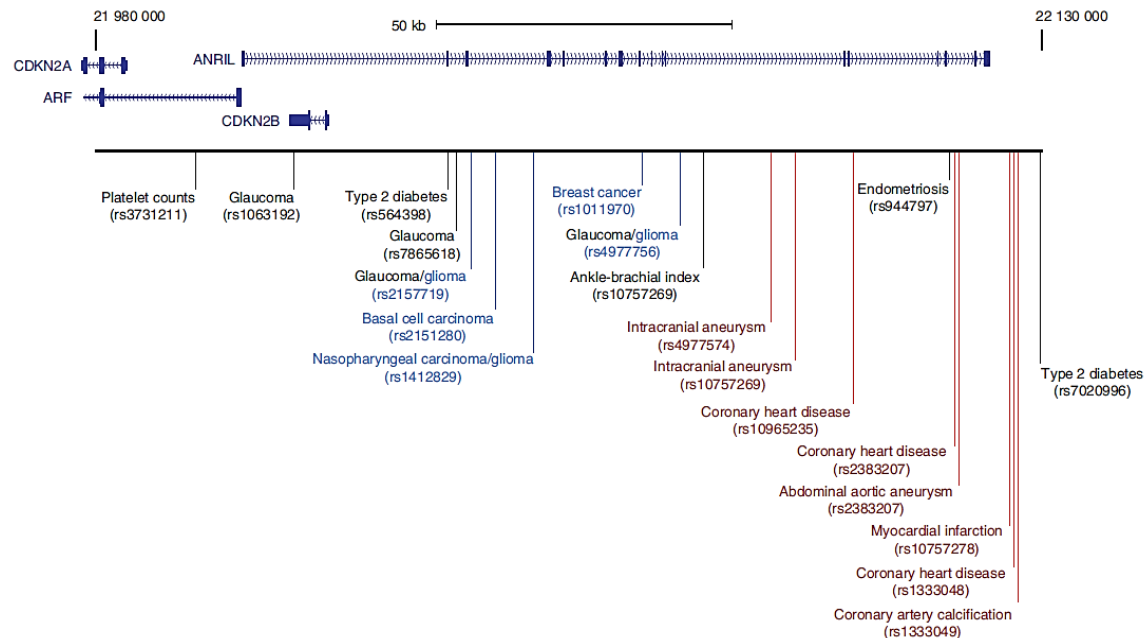
ANRIL، یک lncRNA و دارای ژنی بزرگ به اندازه ۱۲۶ کیلوباز در مجاورت p14/ARF است، که در نقطه داغ GWAS مربوط به بسیاری از بیماری‌های پیچیده مانند دیابت نوع ۱،

بیماری عروق کرونر و سرطان واقع شده است (۶). ANRIL با پروتئین‌های گروه پلی‌کامب میان‌کنش می‌دهد و احتمالاً هیستون‌های سرکوب‌کننده‌ی رونویسی را به جایگاه p15/CDKN2B-p16/CDKN2A-p14/ARF اضافه کرده و تکثیر سلولی را افزایش می‌دهد. از سوی دیگر، این lncRNA به عنوان آنتی‌سنس برای این خوشه‌ی ژنی عمل می‌کند (۷).



شکل ۱. توارث‌پذیری و توزیع ژنومی SNP ها در سرطان. الف) اجزای توارث‌پذیر خطرناک برای سرطان‌های شایع را نشان می‌دهد. بر خلاف اینکه بسیاری از سرطان‌ها اجزای ژنتیکی قابل ملاحظه‌ای دارند، هويت اکثر این عامل‌های خطر توارث‌پذیر در حال حاضر ناشناخته است (۸). ب) توزیع ژنومی (%) SNP ها را در انواع سرطان‌های انتخاب شده نشان می‌دهد. بخش عمده SNP های مرتبط با سرطان در نواحی غیر کدکننده ژنوم (درون ژنی یا اینترونی) واقع شده‌اند و تنها شمار اندکی از آن‌ها در نواحی کد کننده یافت می‌شوند (۴).

نکته بسیار جالب توجه آن است که SNP های مرتبط با بیماری‌های عروقی در سمت ۳'، و SNP های مرتبط با سرطان در سمت ۵' رونوشت ANRIL نقشه‌برداری شده‌اند (شکل ۲). این امر، منعکس کننده نوع عمل ANRIL است. چندشکلی‌های حاضر در نواحی متفاوت رونوشت ANRIL ممکن است بر میان‌کنش‌های RNA-DNA یا RNA-پروتئین که برای خاموش‌سازی ژن به واسطه ANRIL ضروری هستند، تاثیر بگذارد. هم‌چنین این چندشکلی‌ها می‌توانند موجب تغییراتی در انتخاب مکان برنامه‌ریزی اپی‌ژنتیکی شوند که برای تسهیل میان‌کنش‌های لازم جهت عملکرد رگی و نیز تاثیر بر بقا و چرخه سلول، ضروری است. به احتمال زیاد،



شکل ۲. نقطه داغ GWAS در جایگاه ANRIL. چند SNP مرتبط با بیماری بر روی جایگاه ANRIL نقشه برداری شده‌اند که شامل سرطان‌های متفاوت (رنگ آبی)، و وضعیت‌های مرتبط با شرایط رگی (رنگ قرمز) هستند. چندشکلی‌های فردی ممکن است به شیوه‌ی متنوع بر عملکرد ANRIL تاثیر بگذارند و به بیماری‌های گوناگون منجر شوند (۴).

## نقش‌های تنظیمی lncRNAها در سرطان: انکوژن‌ها یا ژن‌های سرکوبگر تومور

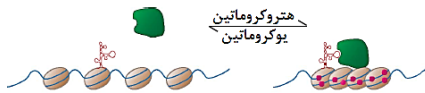
lncRNAهای درگیر در ایجاد سرطان، به واسطه تنوعی از فنون، از جمله روش‌های مبتنی بر ریزآرایه‌های بیانی (expression microarrays)، آرایه‌های فرش کننده (tiling arrays)، روش‌های توالی‌یابی نسل دوم (next generation sequencing) و آنالیز متیله‌شدن، شناسایی شده‌اند (۱۴-۱۱). استفاده از این روش‌ها، به کشف شماری از lncRNAها منجر شده، که ارتباط آشکاری بین بیان و وضعیت اپی‌ژنتیکی آن‌ها بافت‌های سرطانی وجود دارد. این مولکول‌ها با تنوع وسیعی از سازوکارهای عملکردی که تقریباً در هر جنبه از زیست‌شناسی سلول به چشم می‌خورند (۳)، در پیش‌برد یا مهار فرایند تومورزایی همکاری می‌کنند. شکل ۳، ارائه دهنده یک شماری کلی از نقش lncRNAها در سرطان‌زایی است. در ادامه، به معرفی چند نمونه از مهم‌ترین lncRNAها و چگونگی تاثیر آن‌ها در بروز سرطان می‌پردازیم.

نظر به نقش مرکزی lncRNAها در پیش‌برد و یا توسعه تومورزایی، به معرفی چند lncRNA و ارتباط گسترده بین بیان و عملکرد آن‌ها با سرطان می‌پردازیم:

بسیاری از lncRNAهای رونویسی شونده از جایگاه‌های مرتبط با سرطان، به علت فراوانی کمی که دارند، قابل تشخیص یا تعیین ویژگی نیستند. حتی نواحی صحرای ژنی (Gene deserts - نواحی گسترده در ژنوم انسان که در برگیرنده هیچ ژنی نیستند) نیز می‌توانند کد کننده lncRNA باشند، چنان‌چه یک جایگاه در صحرای ژنی واقع در 8q24، یک lncRNA را کد می‌کند که در سرطان‌زایی پروستات درگیر است (۹). در سال ۲۰۱۲، روشی به نام RNA Capture-Seq توصیف شد که قادر به تشخیص رونوشت‌های کم‌بیان و بسیار ویژه بافت است (۱۰). زمانی که از این روش برای ارزیابی رونوشت‌های کد شده از صحرای ژنی استفاده شد، شمار زیادی رونوشت با عملکرد ناشناخته شناسایی شدند. این روش، به تمرکز بر روی شناسایی نواحی مرتبط با سرطان که تولید کننده رونوشت‌های غیر کدکننده نادر و تنظیم‌کننده‌های مهم در سرطان‌زایی هستند، کمک شایانی می‌کند. افزون بر این، این مطالعات پیشنهاد می‌کنند که بسیاری از جایگاه‌های خطر غیرکدکننده مرتبط با سرطان که به واسطه GWAS شناسایی شده‌اند، به lncRNAهایی با عملکردهای مهم تنظیمی در زیست‌شناسی سرطان رونویسی می‌شوند.

الف) تغییر حالت کروماتین

**ANRIL**: مهار بیان لوکوس سرکوبگر تومور شامل ژن های *INK4A-ARF-INK4b* را موجب می شود. بیان آن در سرطان پروستات افزایش می یابد و به عنوان نقطه داغ در مطالعات متفاوت همراهی کل ژنومی این سرطان به شمار می رود.



**XIST**: در غیرفعالسازی کروموزوم X درگیر است. بیان آن در رده های سلولی سرطان پستان، تخمدان و گردن رحم کاهش می یابد. سرطان خون را در موش سرکوب می کند.

**KCNQ1IOT1**: در سرطان کولورکتال، دستخوش از دست دادن نقش گذاری می شود.

**HOTAIR**: بیان آن در سرطان پستان افزایش می یابد. متاستاز سرطان را تقویت می کند.

ب) همکاری در فعال کردن یا سرکوب کردن رونویسی

**LincRNA-p21**: تنظیم گر پاسخ p53 به محض آسیب دیدن DNA است. بیان آن در رده های سلولی سرطان های متفاوت افزایش می یابد.

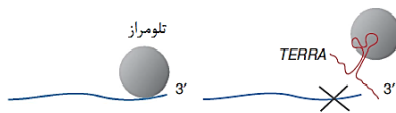


**H19**: بیان آن در سرطان معده افزایش می یابد. بیان نابجای آن موجب تقویت تکثیر سلولی می شود.

**SRA**: کمک-فعال کننده رونویسی گیرنده های استروئیدی است. بیان آن در تومورزایی پستان افزایش می یابد.

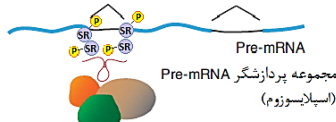
ج) مهار عملکرد پروتئین

**TERRA**: تشکیل هتروکروماتین تلومری را تسهیل می کند، و عملکرد تلومراز را به واسطه اتصال مستقیم به آن مهار می کند. بیان آن به طور چشم گیر در تعداد زیادی از رده های سلولی سرطانی انسان، کاهش می یابد.



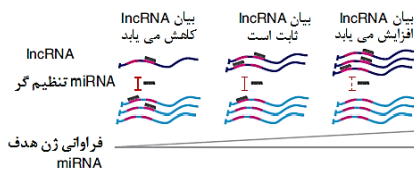
د) تغییرات پس از ترجمه

**MALATI**: پردازش متناوب را به واسطه تنظیم فسفریلاسیون و پراکندگی عامل های پردازشی سرنی/ارژینی (پروتئین های SR) کنترل می کند، و مقادیر این پروتئین ها را در speckle های هسته ای تنظیم می کند. بیان آن در انواع متفاوت بافت های سرطانی افزایش می یابد، و حرکت و تکثیر سلولی را تقویت می کند.



ه) تاثیر بر عملکرد miRNA

**PTENP1**: ژن کاذب مشتق شده از ژن سرکوبگر تومور *PTEN* است. سطوح بیان *PTEN* را به واسطه رقابت با آن در اتصال به ریز RNA کنترل می کند. در بسیاری از سرطان های انسانی از بین می رود.

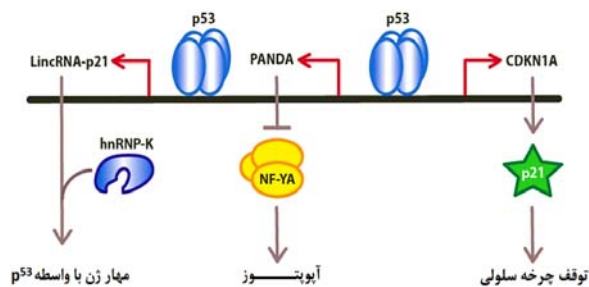


شکل ۳. نمایش سازوکارهای عمل lncRNA ها در روند توسعه تومور (۴).

ریبوزومها و سرکوب ترجمه در بسیاری از سلول های عصبی و سلول های رده ی زاینده می شود (۱۷). **H19** قدیمی ترین lncRNA شناخته شده است و ژن آن تنها چند صد کیلوباز از جایگاه *KCNQ1OT1* فاصله دارد و در کنار ژن عامل رشد شبه انسولین ۲ (*IGF2*) قرار دارد. بیان دوآلی *H19* با کاهش رشد، و بیان دوآلی *IGF2* با افزایش بیش از اندازه رشد جنین همراه است. بنابراین سازوکارهای ایجاد کننده تعادل بیانی بین این دو عامل، نقش چشم گیری در روند تکوین طبیعی جنین ایفا می کند و ناهنجاری های نقش گذاری در جایگاه *IGF2/H19* با چند نوع بدخیمی اداری-تناسلی همراه است (شکل ۶). در تومورهای ویلمز که

**lncRNA-p21** که به واسطه پروتئین  $p^{53}$  تنظیم می شود و خود نیز فعالیت  $p^{53}$  را تقویت می کند، یک مهار کننده رونویسی وابسته به  $p^{53}$  است (۱۵). جایگاه کد کننده این مولکول، در فاصله ی حدود ۱۵ کیلوباز از فرادست ژن *CDKN1A (P21)* قرار دارد (۱۶). مهار عملکرد این مولکول، موجب تغییر بیان صدها ژن هدفی می شود که در مسیرهای راه اندازی آبشار آپوپتوز و یا تنظیم چرخه سلولی نقش دارند. فعالیت *lncRNA-p21* در مهار رونویسی، از طریق میان کنش آن با عامل های رونویسی *hnRNP-K* محقق می شود (۱۶). (شکل ۴). افزون بر این، *lncRNA-p21* با برقراری میان کنش های جفت بازی با مولکول *miRNA* هدف، موجب غیرفعال شدن

مطالعه، زمانی که H19 به سلول‌های سرطانی معده منتقل شد، کاهش قابل توجهی در فعالیت  $P^{53}$  مشاهده گردید. این یافته، بر این واقعیت تأکید داشت که تنظیم مثبت بیان H19، با تنظیم منفی  $P^{53}$  همراه است و H19 از این طریق در فرایند تومورزایی نقش دارد (۲۲).

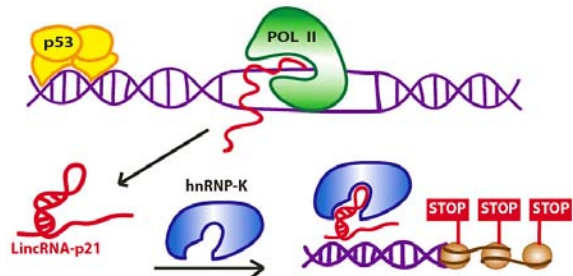


**شکل ۵.** الگوی برای کنترل جایگاه CDKN2A توسط پروتئین  $P^{53}$  در پاسخ به آسیب DNA. CDKN1A، موجب توقف چرخه سلولی می‌شود. PANDA مسیر آپوپتوز را از طریق میان‌کنش با عامل NF-YA مسدود می‌کند. LincRNA-p21 در میان‌کنش با hnRNP-K موجب خاموش‌سازی ژن‌ها می‌شود (۱۸).

به‌طور قابل ملاحظه‌ای، سطوح H19 القاشده به واسطه هیپوکسی در سرطان‌های هپاتوسلولار و مثانه، با افزایش بیان ژن‌های القاکننده رگ‌زایی، بقا و تکثیر سلولی همراه است (۲۳-۲۵). در برابر، miR-675 که از جایگاه H19 کد می‌شود، یک سرکوبگر تومور است که تکثیر سلولی را در پاسخ به تنش و کاهش گیرنده IGF1 مهار می‌کند (۲۶)، و این شیوه عملکرد، نشان‌دهنده چندگانگی عملکرد رونوشت‌های مشتق شده از جایگاه H19 است.

**MEG3** از دیگر lncRNAهایی است که با  $P^{53}$  در ارتباط است. این lncRNA توسط ژن MEG3 (Maternally expressed gene 3) و در بسیاری از بافت‌های طبیعی مانند هیپوفیز بیان می‌شود. با این وجود، بیان MEG3 در فهرست در حال افزایشی از تومورهای انسانی اولیه و دودمان‌های سلولی توموری نیز دیده شده است (۳۰-۲۸). MEG3 با مهار پروتئین MDM2 که تخریب‌کننده  $P^{53}$  است، تجمع پروتئین  $P^{53}$  را القا، و رونویسی از پروموتور ژن‌های وابسته به  $P^{53}$  را تحریک می‌کند و به طور انتخابی بیان ژن‌های هدف  $P^{53}$  را تنظیم می‌نماید (۳۱). بنابراین MEG3 می‌تواند به عنوان یک lncRNA سرکوبگر تومور جدید تلقی شود (۳۲).

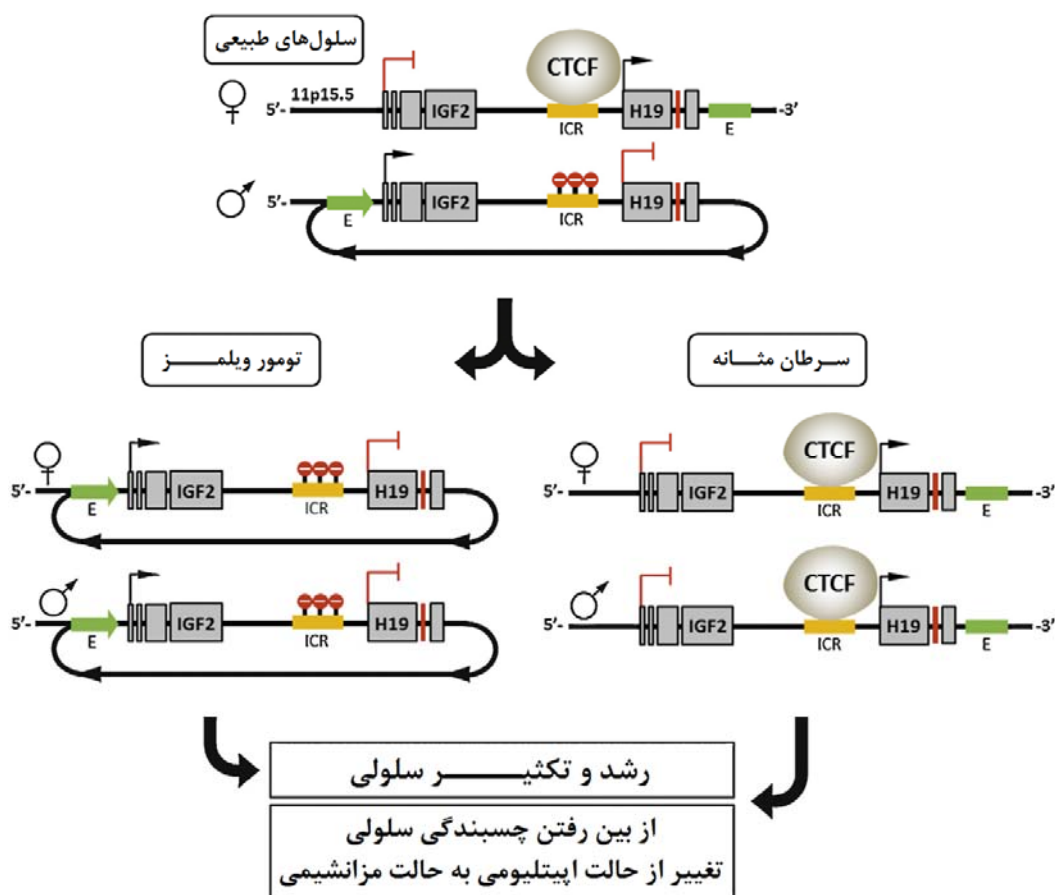
نئوپلاسم‌های دوران کودکی هستند و اغلب در سندرم بک-ویت-ویدمن (overgrowth syndrome) یا سندرم رشد بیش از اندازه) به چشم می‌خورند، H19 بر روی هر دو کروموزوم خاموش می‌شود و IGF2 به صورت دوآللی بیان می‌گردد (۲۰).



**شکل ۴.** الگوی پیشنهادی برای نقش LincRNA-p21 در پاسخ رونویسی  $P^{53}$ . القای  $P^{53}$  و اتصال آن به پروموتور LincRNA-p21، با فعال شدن رونویسی LincRNA-p21 همراه است. LincRNA-p21 به hnRNP-K متصل می‌شود و همراه با آن، بیان ژن‌هایی را که به عنوان جزئی از پاسخ رونویسی  $P^{53}$  هستند، کاهش می‌دهد (۱۶).

**PANDA** (P21 Associated ncRNA DNA Damage Activated) که جایگاه کدکننده آن به فاصله ۵ کیلوباز از جایگاه آغاز رونویسی CDKN1A ( $P^{21}$ ) قرار دارد، هنگام آسیب DNA و در پاسخ به  $P^{53}$  بیان می‌شود و نقش آن، دخالت در مسیرهای ضد آپوپتوزی است (شکل ۵) (۱۸). کاهش مقادیر PANDA، با القای بیان فعال‌کننده‌های آپوپتوز مانند APAF1، BIK، و FAS همراه است. با وجود آن که CDKN1A در توقف چرخه‌ی سلول نقش دارد، PANDA موجب بقای سلول می‌شود. پروموتور ژن‌های مرگ سلولی، به واسطه ناحیه‌ای برای اتصال عامل رونویسی NF-YA شناخته می‌شوند که به‌طور ویژه‌ای در میان‌کنش با PANDA است. این میان‌کنش با مهار عملکرد PANDA همراه است. کاهش PANDA موجب افزایش فرصت NF-YA برای اتصال به پروموتور ژن‌های پیش آپوپتوزی مانند CCNB1، PUMA و NOXA می‌شود (۱۹).

H19 بیان  $P^{53}$  را در سلول تحت تاثیر قرار می‌دهد. این lncRNA دارای چهار ناحیه‌ی اتصال به microRNA let-7 شامل let7a، let7b، let7g و let7i است که در تنظیم عملکرد آن نقش دارند (۲۱). در سال ۲۰۱۲ نشان داده شد که بیان نابجای H19 با افزایش تکثیر سلولی همراه است، در حالی که خاموش‌سازی آن به‌واسطه مولکول‌های siRNA، موجب همکاری آن در القای فرایند آپوپتوز می‌شود. در ادامه همین



شکل ۶. نقش گذاری ژنومی در جایگاه 11p15.5 و در برگزیده ژن های IGF2 و H19 در سلول های طبیعی، تومور ویلمز و سرطان مثانه. هر یک از فرایندهای خاموش شدن یا افزایش بیان جایگاه H19 می تواند موجب رشد تومور شود. در سلول های طبیعی، ژن های IGF2 و H19 به واسطه ناحیه کنترل نقش گذاری (ICR) از هم جدا شده اند، که در خلال دوران جنینی بیان هم زمان دوالی دارند و تحت کنترل یک عنصر تقویت کننده مشترک در فرودست ژن H19 قرار گرفته اند. ICR بر روی کروموزوم پدری متیله می شود. بنابراین، تنظیم کننده رونویسی CTCF قادر به شناسایی آن نمی باشد. در چنین شرایطی، رونویسی از ژن H19 انجام نمی گیرد و عنصر تقویت کننده، به رونویسی از ژن IGF2 کمک می کند. در برابر، CTCF بر روی کروموزوم مادری به ICR متصل شده و موجب ابقای عنصر تقویت گر در مجاور H19 مادری و رونویسی از آن می شود. در تومورهای ویلمز، آلل های ژن H19 بر روی هر دو کروموزوم متیله می شود و این رویداد با بیان ژن IGF2 از هر دو آلل همراه است. چنین شرایطی، موجب تجمع پروتئین IGF2 و سرانجام تحریک رشد سلول می شود. در سرطان مثانه، ناحیه پروموتور ژن H19 و هم چنین ICR های پومتیله می شود. از این رو، بیان IGF2 در هر دو آلل خاموش می شود و از سوی دیگر H19 lncRNA تجمع می یابد (۲۷).

وابسته به P<sup>53</sup> (در زمان تنش های سلولی و آغاز مسیر میتوکندریایی آپوپتوز و ایجاد شبکه BAX-P<sup>53</sup>) (۳۵)، و یا مستقل از آن (در شرایط کمبود اکسیژن) (۳۶) باشد. مقادیر بالای Pycard موجب مهار تکثیر سلول های خونی و القای آپوپتوز یا تمایز در این سلول ها می شود. شکل ۷ نمایان گر این رخدادها است (۳۷).

Loc285194 از جمله lncRNA هایی است که به واسطه P<sup>53</sup> فعال می شوند. این مولکول که LSAMP antisense RNA 3

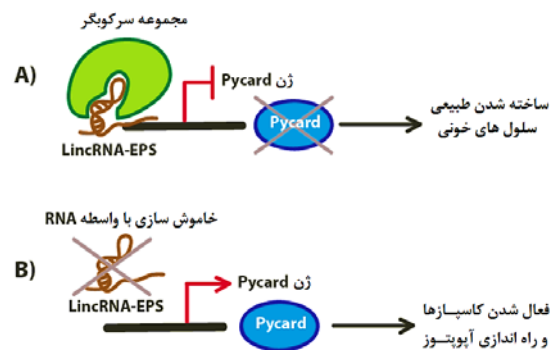
*LincRNA-EPS* یکی از ۴۰۰ نوع lncRNA ای است که به طور موثر در زمان تمایز نهایی انواع سلول های خونی بیان می شوند. خاموش سازی این lncRNA از تمایز سلول های خونی و القای آپوپتوز در آن ها جلوگیری می کند. در عین حال، بیان نابجای آن با مهار آپوپتوز در سلول های خونی همراه است. *LincRNA-EPS* قادر به سرکوب بیان یک ژن پیش آپوپتوزی به نام Pycard است، و از این طریق موجب مهار آپوپتوز می شود (۳۴، ۳۳). بیان Pycard نیز می تواند

*PINT* یک lncRNA هسته‌ای بیان شونده در همه بافت‌ها است که در سال ۲۰۱۳ شناسایی شده و به نحو موثری به واسطه‌ی  $P^{53}$  تنظیم می‌گردد. در سلول‌های موشی، *Pint* (p<sup>53</sup> induced noncoding transcript) با تنظیم بیان ژن‌های درگیر در مسیرهای TGF- $\beta$ ، MAPK و  $P^{53}$ ، موجب تقویت تکثیر و بقای سلول می‌شود. در ادامه مشخص شد که *Pint* به طور مستقیم با مجموعه سرکوبگر پلی کامب ۲ میان‌کنش داده، و حضور آن برای عملکرد این مجموعه در هدف‌گیری ژن‌های ویژه، تری‌متیله شدن H3K27 و سرکوب بیان این ژن‌ها ضروری است. اورتولوگ انسانی *Pint* (*PINT*) نیز به واسطه  $P^{53}$  تنظیم می‌شود و بیان آن مانند مسیر  $P^{53}$  به طور چشم‌گیری مطابق با فعالیت همان مسیرهای سلولی است که مرتبط با عملکرد اورتولوگ موشی آن هستند. بیان *PINT* در تومورهای اولیه کولون کاهش می‌یابد، و بیان بالای آن از تکثیر سلول‌های توموری جلوگیری می‌کند. این فعالیت‌ها در مجموع، پیشنهاد کننده نقش احتمالی *PINT* در سرکوبگری تومور است (۴۱).

*lncRNA-RoR* یک lncRNA است که از طریق میان‌کنش با ریبونوکلوپروتئین I هسته‌ای هتروژن (Heterogeneous nuclear ribonucleoprotein I) (hnRNP I)،  $P^{53}$  را در پاسخ به آسیب به DNA سرکوب کرده و موجب مهار توقف چرخه سلولی و آپوپتوز می‌شود. بین بیان  $P^{53}$  و *lncRNA-RoR* یک حلقه بازخوردی خودتنظیمی وجود دارد، و سطوح افزایش یافته‌ی  $P^{53}$  با افزایش رونویسی *lncRNA-RoR* همراه است (۴۲).

بیان رونوشت ۱ آدنوکارسینوما‌ی شش مرتبط با متاستاز (metastasis associated lung adenocarcinoma transcript 1) (*MALAT1* یا *NEAT2*) (۴۳) به طور ویژه در مثانه، کلیه و زیرمجموعه‌ای از سرطان‌های پروستات، افزایش می‌یابد (۴۷-۴۴). *MALAT1* در کارسینوما‌ی اوروتیلیال، بیان بیش از اندازه نشان می‌دهد و فرایندهای تکثیر، مهاجرت و بقای سلول را القا می‌کند. این lncRNA در شرایط *in vitro* با فعال نمودن سیگنال دهی wnt، موجب ارتقای تغییر از حالت اپیتلیومی به حالت مزانشیمی می‌شود (۴۵، ۴۶). در کارسینوما‌ی سلول کلیوی (renal cell carcinoma)، *MALAT1* با ژن TFEB که یک عامل رونویسی تنظیم‌گر مسیرهای تکوینی را کد می‌کند، ادغام می‌شود. در طی این ادغام، تمامیت توالی کد کننده ژن TFEB حفظ می‌شود، اما قرار گرفتن این ژن در کنار ژن *MALAT1*، با افزایش مخرب سطوح پروتئین TFEB و پیشرفت سرطان همراه است (۴۸، ۴۹). هم‌چنین *MALAT1* در فعال‌سازی مستقیم بیان ژن درگیر است. این lncRNA

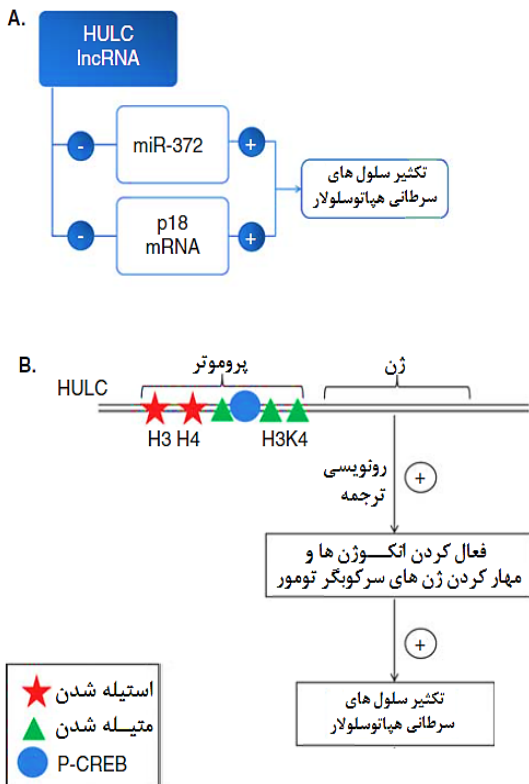
نیز نام دارد، یک سرکوبگر بالقوه‌ی تومور است و عملکرد سرکوبگری تومور آن به واسطه‌ی آزمون از کار انداختن ژن (gene knockdown) به اثبات رسیده است. کاهش بیان این عامل در نمونه‌های سرطان کولون گزارش شده است (۳۸). مطالعات سال ۲۰۱۳ نشان داد که *Loc285194*، تنظیم کننده‌ی منفی miR-211 است و احتمالاً از این طریق در مهار رشد سلول نقش دارد. به نحو جالبی، miR-211 در یک مسیر بازخورد منفی، بیان *loc285194* را متوقف می‌سازد (۳۹).



شکل ۷. نقش بالقوه LincRNA-EPS در ساخت سلول‌های خونی. *LincRNA-EPS* در همراهی با مجموعه‌های سرکوبگر، ژن *Pycard* را سرکوب می‌کند و موجب مهار آپوپتوز در پیش‌سازهای سلول‌های خونی می‌شود. *B* خاموش‌سازی *LincRNA-EPS* با رونویسی از ژن *Pycard* همراه است، و به فعال شدن کاسپازهای درون سلولی و القای آپوپتوز می‌انجامد (۳۷).

*PTCSC3* که پیش از این نیز به آن اشاره شد، توسط ژن *PTCSC3* کد می‌شود و در استعداد ابتلا به کارسینوما‌ی پاپیلاری تیروئید نقش کلیدی دارد. Fan و همکاران در مطالعه‌ای در سال ۲۰۱۳، به بررسی تاثیر *PTCSC3* بر روند رشد سلولی و آپوپتوز در سلول‌های سرطانی تیروئید پرداختند، و نشان دادند که افزایش سطح بیان *PTCSC3* با توقف سلول‌ها در مرحله G0/G1 چرخه سلولی همراه بوده و به آپوپتوز سلول منجر می‌شود، در حالی که کاهش آن با ورود سلول‌ها به مرحله تکثیر و ایجاد تومور همراه است. این مطالعه نیز نشان داد که در سلول‌های سرطانی تیروئید، *PTCSC3* با *mir-574-5p* در میان‌کنش است و افزایش بیان آن با کاهش شدید بیان *mir-574-5p* همراه است. *PTCSC3* رقیب درون‌زاد *mir-574-5p* است، بدین ترتیب که آن را هدف قرار داده و با خنثی کردن عمل آن، رشد سلول و آپوپتوز در سرطان تیروئید را تنظیم می‌کند (۴۰).

افزایش می‌یابد و تا کنون مهم‌ترین عامل آغازی در ایجاد سرطان هپاتوسلولار بوده است (۵۷). در مقاله مروری چاپ شده در سال ۲۰۱۴، سازوکارهای عملکرد HULC به عنوان مهم‌ترین عامل آغازکننده سرطان هپاتوسلولار، به تصویر کشیده است (۵۹) (شکل ۸).



**شکل ۸.** سازوکارهای اپی‌ژنتیکی HULC lncRNA در سلول‌های سرطانی هپاتوسلولار. **A:** HULC دارای توالی‌های مکمل برای هدف‌گیری ژن‌های سرکوبگر تومور miR-372 و P18 است و می‌تواند به عنوان یک آنتی‌سنس از بیان این ژن‌ها جلوگیری کند. **B:** تغییرات هیستونی در نواحی پروموتور بسیاری از lncRNAها، موجب بیان نابجای آن‌ها می‌شود. این سازوکار به‌واسطه فراخوانی پروتئین‌های تنظیم‌گر هیستون‌ها، و به منظور ایجاد تغییر در ساختار هیستونی ژن‌های هدف صورت می‌پذیرد. برای نمونه، میان‌کنش بین CREB (cAMP responsive element-binding protein) فسفریله و جایگاه‌های اتصال به CREB در نزدیکی ناحیه پروموتور ژن HULC، موجب افزایش بیان این ژن می‌شود. مکان‌های ویژه‌ای در درون ناحیه‌ی پروموتور ژن HULC، حساسیت قابل‌توجهی نسبت به استیله شدن (در هیستون‌های H3 و H4) و متیله شدن (در H3K4) داشته، و این تغییرات یکی پس از دیگری موجب حساس‌تر شدن ناحیه پروموتور HULC نسبت به CREB فسفریله می‌شود. افزون بر این، بیان بالای HULC از عملکرد miR-372 که سرکوبگر CREB است، جلوگیری می‌کند و موجب تشدید فرایندهای آغاز و پیشرفت تکثیر سلول‌های سرطانی هپاتوسلولار می‌شود (۵۹).

همراه با یک lncRNA دیگر به نام TUG1 (upregulated gene 1)، رفت و آمد مجموعه سرکوبگر پلی‌کامب را بین فضاهای هسته میانجی‌گری می‌کند و موجب فعال‌سازی یا سرکوب ژن‌های کنترل رشد می‌گردد (۵۰). به‌طور قابل توجهی، بیان TUG1 نیز در کارسینوماهای ادراری-تناسلی افزایش می‌یابد و بیان بالای این lncRNA در مراحل پیشرفته سرطان دیده شده است. خاموش شدن ژن TUG1 در کارسینوماهای ادراری-تناسلی موجب مهار تکثیر و القای آپوپتوز می‌شود، که این امر تاییدی بر عملکرد انکوژنی کارسینوماهای ادراری-تناسلی است (۵۱).

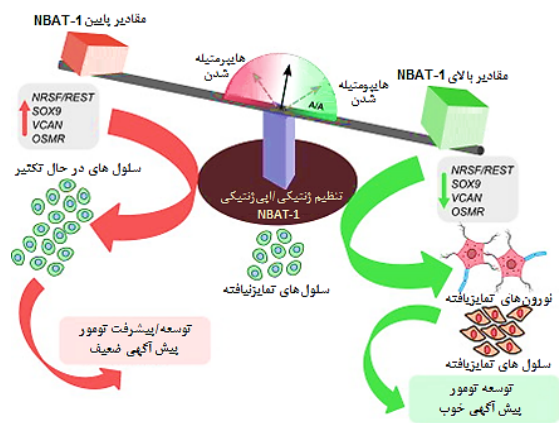
یک lncRNA تحت عنوان "UCA1 (Urothelial carcinoma-associated 1)" یوروتلیال، مطالعه‌ای در سال ۲۰۱۴ نشان داد که UCA1 در میان‌کنش با شکل فسفریله hnRNP I، یک مجموعه ریبونوکلوپروتئینی را تشکیل داده، و پایداری‌اش از این طریق افزایش می‌یابد. hnRNP I ترجمه‌ی P<sup>27</sup> (Kip1) را به‌واسطه میان‌کنش با ناحیه 5'UTR از mRNA آن افزایش می‌دهد، اما میان‌کنش UCA1 با hnRNPI، سطوح پروتئین P<sup>27</sup> را از طریق مهار رقابتی کاهش می‌دهد. در ادامه، با کمک گرفتن از فن ریزآرایه و بررسی ارتباط بین P<sup>27</sup> و UCA1، مشخص شد که UCA1 یک انکوژن مهم در سرطان پستان است (۵۲).

افزایش بیان UCA1، فعالیت کینازی ERK1/2 MAPK و PI3-K/AKT را افزایش می‌دهد، که خود با افزایش کمک-فعال-کننده رونویسی P300 همراه است. P300 رونویسی را از طریق بازآرایی کروماتین تنظیم می‌کند و بیان و فسفریلاسیون پروتئین CREB را که ارتقادهنده سرطان‌زایی و تهاجم تومور است را افزایش می‌دهد (۵۳، ۵۴). بیان افزایش‌یافته یکی از ایزوفرم‌های UCA1 به نام UCA1a (CUDR) در سلول‌های سرطانی مثانه دیده شده است و پیشنهاد می‌کند که UCA1a می‌تواند به عنوان یک هدف درمانی جدید برای سرطان مثانه به شمار رود (۵۵).

برخی lncRNAها دارای توالی مکمل با ژن‌های هدفشان هستند و به عنوان یک آنتی‌سنس برای آن‌ها عمل می‌کنند. ژن هدف می‌تواند یک ژن کدکننده ریز RNA و یا پروتئین باشد. برای نمونه، HULC (highly upregulated in liver cancer) می‌تواند بیان ژن miR-372 (miR-372) و نیز ژن سرکوبگر تومور P18 را کاهش دهد و موجب افزایش تکثیر سلول‌های سرطان هپاتوسلولار شود (۵۶ و ۵۷). HULC اولین lncRNA ویژه سلول‌های کبدی بود که در سال ۲۰۰۷ شناسایی شد (۵۸). بیان HULC تا ۳۳ برابر در هپاتیت B



نوروبلاستوما، یک تومور جنینی دستگاه عصبی سمپاتیک، و رایج‌ترین تومور خارج جمجمه‌ای است. مطالعه‌ای در سال ۲۰۱۴ با توالی‌یابی مجموعه رونوشت‌های موجود در نوروبلاستوماهای کم‌خطر و پرخطر، شماری از lncRNAها با بیان متفاوت را مشخص نمود. این مطالعه، یک lncRNA با نام رونوشت ۱ مرتبط با نوروبلاستوما (*NBAT-1*) را به عنوان یک مارکر زیستی که اهمیت چشم‌گیری در پیش‌بینی پیامد بالینی نوروبلاستوما دارد، شناسایی کرد. متیلاسیون CpG و یک SNP پرخطر مرتبط با نوروبلاستوما بر روی ناحیه کروموزومی 6p22، تاثیر قابل توجهی بر بیان *NBAT-1* دارند. کاهش *NBAT-1* با تکثیر سلولی و تهاجم تومور همراه است، زیرا *NBAT-1* این فرایندها را از طریق خاموش‌سازی اپی‌ژنتیکی ژن‌های هدف کنترل می‌کند. حذف *NBAT-1*، با فعال‌سازی عامل رونویسی ویژه نورونی NRSF/REST بر تمایز نورونی تاثیر می‌گذارد. بنابراین حذف *NBAT-1* موجب اختلال در تمایز پیش‌سازهای نورونی و افزایش تکثیر این سلول‌ها می‌شود، و از این طریق در ایجاد نوروبلاستوما تهاجمی همکاری می‌کند (شکل ۹).



شکل ۹. پیامدهای بالینی حاصل از تغییرات ژنتیکی و اپی‌ژنتیکی *NBAT-1* (۶۷).

جدول ۱ به طور مختصر به معرفی نقش چند lncRNA در ایجاد و توسعه‌ی سرطان‌های متفاوت پرداخته است.

### نقش lncRNA هادر توسعه متاستاز

متاستاز که در واقع گسترش سلول‌های بدخیم به محل‌های دورتر بدن و الفاکنده‌ی تومورهای ثانوی در سراسر بدن است، عامل اصلی مرگ‌های سرطانی به شمار می‌رود. این پدیده، یک رخداد غیرفعال و یا تصادفی رشد تومور نیست، بلکه

در بررسی کل‌ژنومی تغییرات تعداد نسخه در سلول‌های سوماتیک، مشخص شد که تعداد نسخه برخی از lncRNAها در سرطان‌های متفاوت، تغییر می‌کند. مقاله‌ای در سال ۲۰۱۴ نشان داد که یک lncRNA به نام *FAL1* (focally amplified lncRNA) که ژن آن بر روی کروموزوم ۱ قرار دارد، lncRNAی است که تعداد نسخه و بیان آن با سرطان پروستات مرتبط می‌باشد. *FAL1* با سرکوب‌گر اپی‌ژنتیکی BMI1 همراه می‌شود و پایداری آن را به منظور رونویسی تعدادی از ژن‌ها، از جمله CDKN2A تعدیل می‌کند. فعالیت انکوژنی *FAL1* تا حدودی به توانایی آن در سرکوب کردن  $P^{21}$  بر می‌گردد (۶۰).

*HOTAIR* یک lncRNA با نقش بحرانی در تنظیم اپی‌ژنتیکی سرطان است. مطالعات نشان داده‌اند که *HOTAIR*، بیان ژن‌های HOX انسانی را به صورت trans در یک مقیاس گسترده ژنومی، و به واسطه همراهی با مجموعه‌های تغییردهنده کروماتین شامل PRC2، LSD1 و COREST/REST تنظیم می‌کند (۶۳-۶۱). *HOTAIR* به عنوان یک راهنما و نیز به مثابه یک چارچوب برای هدایت این مجموعه‌ها به سمت ژن‌های هدف درون‌زاد آن‌ها می‌شود. مجموعه *HOTAIR*، *LSD1/COREST*، لیزین ۴ هیستون H3 را دمتیله می‌کند و عمل متیله کردن لیزین ۲۷ هیستون H3 را انجام می‌دهد. این رویدادها موجب غیرفعال شدن ژن‌های هدف *HOTAIR* می‌شوند (۶۳). بیان *HOTAIR* به طور قابل توجهی در تومورهای پستان افزایش می‌یابد، و اندازه‌گیری سطوح آن، شاخص تعیین‌کننده‌ی در تشخیص تومورهای پستانی اولیه، احتمال رخداد متاستاز و بقای بیمار است (۶۴). *miR-34a* نوعی RNA است که می‌تواند موجب کاهش پایداری *HOTAIR* شود؛ فرایندی که در ایجاد سرطان پروستات نقش دارد (۶۵).

هم‌چنین، در مطالعه‌ای در سال ۲۰۱۳، نقش جدیدی برای *HOTAIR* در جلوگیری از فرایند پیری سلولی معرفی شد. این مطالعه نشان داد که بیان *HOTAIR* در سلول‌های پیش‌رونده به سمت پیری، به طور چشم‌گیر افزایش می‌یابد. این مولکول به عنوان یک داربست، میان‌کنش بین پروتئین‌های Ataxin-1 و Snurportin-1 را به ترتیب با عامل‌های Mex3b و Dzip3 تسهیل می‌کند. این میان‌کنش، Ataxin-1 و Snurportin-1 را به سوپسترهایی برای آنزیم یوبی‌کوئیتین‌لیگاز تبدیل می‌کند و در نهایت موجب افزایش یوبی‌کوئیتینه شدن و تخریب آن‌ها می‌شود. نتیجه‌ی این تخریب، جلوگیری از پیری زود هنگام سلول است، هر چند که سازوکار دقیق این ارتباط به طور دقیق شناخته نشده است (۶۶).

جدول ۱. نمایش سازوکار عمل ۱۴ مورد lncRNA در رابطه با سرطان (۶۸)

عملکرد	نوع سرطان	فوتوتیپ سرطان	میان کنش های مولکولی	lncRNA
مارکر زیستی	هیپاتوسلولار	ناشناخته	ناشناخته	HULC
مارکر زیستی	پروستات	ناشناخته	ناشناخته	PCA3
انکوژنی	پروستات، لوسمی	سرکوب پیری از طریق عمل INK4A بر روی	اتصال به مجموعه سرکوبگر پلی کامب ۱	ANRIL/P15as
انکوژنی	پستان، هیپاتوسلولار	توسعه‌ی متاستاز	اتصال به مجموعه سرکوبگر پلی کامب ۲	HOTAIR
انکوژنی	پروستات، شش، کولون، پستان	مبهم	(LSD1 اتصال به دمتیلاز ۱ ویژه لیزین ) همکاری در تشکیل و عملکرد های هسته‌ای paraspeckle	MALAT1/NEAT2
انکوژنی	پروستات	تقویت تکثیر سلولی BRCA2 مہار	ناشناخته	PCAT-1
انکوژنی	پروستات	مہار آپوتوز تقویت تکثیر سلولی	ناشناخته	PCGEM1
انکوژنی	هیپاتوسلولار	تقویت تکثیر سلولی و تشکیل کلونی	ناشناخته	TUC338
انکوژنی	لوسمی	مہار آپوتوز تقویت تکثیر سلولی	ناشناخته	uc.73a
انکوژنی سرکوبگری تومور	پستان، هیپاتوسلولار	توسعه‌ی رشد و تکثیر سلولی فعال می- MYC به واسطه‌ی شود؛ با تکثیر سلولی طولانی مدت، بیان آن کاهش می یابد	ناشناخته	H19
سرکوبگری تومور	پستان	القای آپوتوز و توقف رشد جلوگیری از بیان ژن القاشده با واسطه‌ی گیرنده گلوکورتیکوئید	اتصال به گیرنده گلوکورتیکوئید	GAS5
سرکوبگری تومور	مدل های موشی شش، سارکوما، لنفوما	P53 میانجی گری سیگنالدهی القای آپوتوز	هسته‌ای k' اتصال به ریپونوکلئوپروتئین hnRNP-K (هتروژن)	linc-p21
سرکوبگری تومور	مننژیوما، هیپاتوسلولار، لوسمی، هیپوفیز	P53 میانجی گری سیگنالدهی مہار تکثیر سلولی	ناشناخته	MEG3
سرکوبگری تومور	پروستات، کولون	های RNA اتصال به ریز PTEN سرکوبگر	ناشناخته	PTENP1

هستند (۷۱). در ادامه، به معرفی شماری از این lncRNA ها می پردازیم.

MALAT-1 در speckle های هسته حضور دارد و کنترل کننده فسفریلاسیون پروتئین های خانواده‌ی SR (serine/arginine- rich) در گیر در فرایند پردازش متناوب mRNA است (۷۲، ۷۳). این lncRNA میزان خروجی mRNA مولکول های دخیل در فرایندهای سرطان زایی و

فرایندی فعال و چندمرحله‌ای است که نیازمند تغییرات ژنتیکی و اپی ژنتیکی متعدد در ژن های ویژه است (۶۹، ۷۰).

Jason و همکاران در سال ۲۰۱۴، به معرفی نقش چند lncRNA در توسعه‌ی متاستاز پرداخته‌اند، و بیان داشته‌اند که lncRNA ها از طریق تنظیم آبشارهای پیام رسانی متاستاز، و میان کنش با عامل های متاستازی، قادر به القا و توسعه متاستاز

مطالعات نشان داد که HOTAIR، بیان عامل‌های پیش-متاستازی VEGF و MMP-9 را افزایش می‌دهد (۸۳). مقاله‌ای در سال ۲۰۱۳، افزایش معنی‌دار HOTAIR را در سرطان ریه non-small cell همراه شده با تهاجم به رگ و لنف گزارش کرد، که بقای کوتاه‌مدت تر بیماران را به دنبال داشت (۸۴). HOTAIR به مراتب در تومورهای استرومایی معده‌ای-روده‌ای متاستاز دهنده افزایش می‌یابد و با نرخ بقای ضعیف بیماران همراه است. همچنین، در نمونه‌های گرفته شده از این سرطان که افزایش بیان HOTAIR را نشان می‌دادند، دیده شد که بیان ۱۴۴ ژن به‌واسطه عملکرد HOTAIR در همراهی با PRC2، به میزان چشم‌گیری کاهش می‌یابد (۸۵). مطالعه‌ای در سال ۲۰۱۴ نشان داد که HOTAIR می‌تواند نیز به عنوان یک ceRNA (competing endogenous RNAs) عمل کرده، و با سایر رونوشت‌های RNA برای اتصال به miRNA رقابت کند، و از این طریق ذخیره‌ی miRNAهای در دسترس برای کاهش بیان ژن هدفشان را تعدیل می‌کند. این مطالعه گزارش کرد که HOTAIR با این سازوکار، قادر به توقیف کردن یک miRNA به نام miR331-3p در سلول‌های سرطانی معده است. کاهش سطح فعالیت miR331-3p منجر به افزایش سطوح HER2 می‌شود، که پیش از این نقش آن در پیش‌برد رخداد متاستاز آشکار شده است (۸۶، ۸۷).

استفاده از روش RNA sequencing در مطالعه بر روی ۱۰۲ نمونه گرفته شده از سرطان پروستات، که با هدف ارزیابی lncRNAها با بیان تغییر یافته انجام شد، به شناسایی ۱۲۱ رونوشت با عملکرد نامشخص منجر گردید که بیان هر یک از آن‌ها به نحوی در هر یک از نمونه‌های خوش‌خیم و متاستاز دهنده دستخوش تغییر شده بود. مطالعه عمیق‌تر بر روی یکی از این رونوشت‌ها به نام PCAT-1 (prostate cancer associated transcript 1) نشان داد که بیان این lncRNA در مجموعه‌ای از سرطان‌ها با درجه پیشرفته و سرطان‌های متاستاز دهنده افزایش می‌یابد. در ادامه، knockdown کردن ژن این رونوشت به‌واسطه‌ی siRNA، با ایجاد تغییرات بیان در ۳۷۰ ژن هدف آن همراه شد، که برای نمونه مشخص شد شماری از این ژن‌ها در فرایندهایی همچون چرخه سلولی/میتوز و میکروتوبول/اسکت سلولی درگیر هستند (۸۸). مطالعه دیگری در سال ۲۰۱۳ گزارش کرد که بیان PCAT-1 در سرطان کولورکتال نیز دستخوش افزایش قابل توجه می‌شود و با افزایش رخداد متاستاز و کاهش بقای بیماران همراه است (۸۹).

متاستاز، از جمله عامل‌های درگیر چرخه سلولی، آسیب DNA و متابولیسم (CDK7، B-MYB و SAT1)، مسیر پیام‌رسانی WNT (CAMK2B و HMG2L1) و سازمان‌دهی اسکلت خارج‌سلولی (ARHGGEF1) را کنترل می‌کند. نتایج حاصل از چند مطالعه، نمایان‌گر نقش MALAT-1 در پردازش پس از رونویسی ژن‌های درگیر در راه‌اندازی و پیش‌برد آبخار متاستاز هستند (۷۵، ۷۴).

عملکرد H19 lncRNA نیز در توسعه متاستاز، از جمله در سرطان‌های مثانه و پستان به اثبات رسیده است. در مطالعه‌ای مشخص شد که بیان H19 در رده سلولی T24P از کارسینومای مثانه افزایش می‌یابد. به کمک آنالیز ریزآرایه، ژن‌های درگیر در فرایندهای تهاجم و متاستاز با بیان تغییر یافته در این سلول‌ها شناسایی شدند. در ادامه، این مطالعه نشان داد که H19، تنظیم‌کننده ژن‌های درگیر در تهاجم، مهاجرت و رگ‌زایی است (۷۶). بیان H19 به میزان قابل توجهی در شرایط هیپوکسی و از طریق سازوکارهای میانجی‌گری شده با HIF-1 $\alpha$  افزایش می‌یابد (۷۷). مطالعه دیگری که در سال ۲۰۱۳ بر روی نمونه‌های گرفته شده از سرطان مثانه انجام شد، نشان داد که H19 معمولاً در مراحل اولیه از تومورهایی افزایش می‌یابد که در مراحل بعدی با متاستاز همراه هستند (۷۸).

چندین مطالعه نیز افزایش بیان H19 را در تومورهای متاستاز دهنده پستان گزارش کرده‌اند (۸۱-۷۹). مطالعه‌ای در سال ۲۰۱۲ بر روی نمونه‌های سرطان پستان نشان داد که rs2107425 SNP در اینترون ۱ ژن H19، به طور قابل توجهی با بقای کوتاه‌مدت بدون متاستاز همراه است (۸۲). مطالعات بیشتر بر روی SNP مذکور بیان نمود که این SNP بر بیان H19 تاثیری ندارد، اما بیان یکی از رونوشت‌های آنتی‌سنس H19 را (که نیز از جایگاه H19 رونویسی می‌شوند) تحت تاثیر قرار می‌دهد (۸۲).

نقش HOTAIR نیز در متاستاز سرطان‌های پستان، تومورهای استرومایی معده‌ای-روده‌ای، سرطان هپاتوسلولار و سرطان ریه non-small cell به اثبات رسیده است. این lncRNA با هدف گیری مجموعه PRC2 و هدایت آن به سمت مجموعه ژن‌های خاص، الگوهای بیانی ارتقادهنده‌ی تهاجم و مهاجرت را تقویت می‌کند (۶۱). بیان HOTAIR در نمونه‌های سرطان پستان متاستاز دهنده، ۲۰۰۰ برابر افزایش می‌یابد (۶۴). در سرطان هپاتوسلولار که با متاستاز به گره‌های لنفاوی همراه بود، بیان HOTAIR به مراتب بیشتر از نمونه‌های غیرمتاستازی بود و نرخ بقای بیماران مبتلا، ۳ سال پایین‌تر گزارش شد. ادامه

مطالعات جدید با هدف پی بردن به سازوکار دقیق عملکرد این رونوشت در فرایند متاستاز، در حال انجام است.

IncRNA-ATB در سال ۲۰۱۴ شناسایی شده، که به واسطه مسیر پیام‌رسانی TGF- $\beta$  فعال می‌شود و چند مرحله از فرایند متاستاز سرطان هپاتوسلولار را از طریق دو سازوکار مستقل تنظیم می‌نماید. در سازوکار اول، این رونوشت به عنوان یک ceRNA عمل کرده، و با توقیف کردن اعضای خانواده miR200 موجب کاهش دادن دسترسی آن‌ها به رونوشت‌های هدفشان می‌شود. این رویداد، به القای بیان یک IncRNA دیگر به نام Zeb1/2 منجر می‌شود، که افزایش مقادیر آن با کاهش E-cadherin و به دنبال آن تغییر از حالت اپی‌تلیومی به حالت مزانشیمی و افزایش قابلیت متاستاز همراه است. در سازوکار دوم، IncRNA-ATB به mRNA Il-11 (اینترلوکین ۱۱) متصل می‌شود و پایداری آن را افزایش می‌دهد. افزایش سطوح Il-11 به واسطه IncRNA-ATB، موجب فعال‌سازی مولکول STAT3 (Signal transducer and activator of transcription 3) می‌شود. این با افزایش تمایل ذاتی سلول‌ها به بقا و موفقیت آن‌ها برای تشکیل کلنی در بافت جدید دوردست همراه است. میزان بیان IncRNA-ATB، یک عامل پیش‌بینی کننده معتبر برای رخداد یا عدم رخداد عود بیماری و برآورد نرخ کلی بقا در بیماران مبتلا به سرطان هپاتوسلولار است، و زمینه تحقیقات جدید را فراهم آورده است (۹۴).

LCT13 (LINE-1 chimeric antisense transcript) یک IncRNA است که خاموش‌سازی رونوشت‌برداری از ژن sense خود را که رمز کننده پروتئین ضد متاستازی TFPI2 (tissue factor pathway inhibitor 2) است، القا می‌نماید و از این رو می‌تواند در پیش‌برد فرایند متاستاز درگیر باشد (۹۵).

## lncRNAها به عنوان عامل‌های تشخیص و

### پیش‌آگهی سرطان

کشف اینکه lncRNAها تنظیم‌کننده‌های کلیدی در تغییر شکل به سمت سرطان و پیشرفت آن هستند، با چشم‌اندازهایی به سوی کاربرد این مولکول‌ها به عنوان اهداف تشخیصی و درمانی همراه شده است. بسیاری از lncRNAها مانند ANRIL، HOTAIR و MALAT-1 به شیوه محدود به بافت و ویژه یک سرطان بیان می‌شوند و می‌توان از آن‌ها به عنوان نشانگرهای پیش‌آگهی مفید استفاده کرد. شمار lncRNAهایی که به عنوان مارکرهای زیستی در تشخیص و پیش‌آگهی کاربرد دارند، هر ساله در حال افزایش

IncRNA-LET (lncRNA-low expression in tumor) یک رونوشت با نقش کلیدی در سرکوب متاستاز است. مطالعه‌ای در سال ۲۰۱۳ گزارش کرد که در شریط هیپوکسی، افزایش بیان عامل HIF-1 $\alpha$ ، موجب افزایش بیان HDAC3 (هیستون داستیلاز ۳) می‌شود. HDAC3 با داستیله کردن هیستون‌های واقع در بخش پروموتور ژن کد کننده IncRNA-LET، موجب کاهش بیان این رونوشت می‌گردد. این مطالعه در ادامه، تاثیر این رویداد را در پیش‌برد متاستاز سرطان هپاتوسلولار به اثبات رساند (۹۰).

CCAT2 (colon cancer associated transcript 2) یک IncRNA است که به دنبال فعال شدن مسیر پیام‌رسانی WNT، ورود  $\beta$ -کاتنین به هسته و همراه شدن آن با عامل TCFL72 بیان می‌شود. مطالعه‌ای در سال ۲۰۱۳ نشان داد که وجود چندشکلی GG rs6983267 در ژن کد کننده CCAT2، موجب افزایش بیان این رونوشت نسبت به حالت rs6983267 TT می‌گردد. افزایش بیان CCAT2، با افزایش بیان ژن‌های هدف پایین‌دست از جمله MYC همراه است، و از طرفی نیز بر فعالیت مسیر پیام‌رسانی WNT تاثیر بازخوردی مثبت دارد. سطوح افزایش یافته MYC، موجب افزایش بیان اهداف پایین دست آن، شامل miR17HG و miR20a می‌شود که میانجی‌گرهای متاستاز هستند و نقش مهمی در تقویت بروز فنوتیپ متاستازی ایفا می‌کنند (۹۱). این مطالعه در ادامه حضور چندشکلی GG rs6983267 در ژن کد کننده CCAT2، با افزایش خطر بروز سرطان‌های کولورکتال، پروستات، تخمدان و کارسومای التهابی پستان همراه است (۹۱).

GACAT1 (gastric cancer associated transcript 1) یک IncRNA دیگری است که در سال ۲۰۱۳ نشان داده شد بیان آن در بافت‌های سرطانی معده، در مقایسه با بافت‌های طبیعی احاطه کننده آن‌ها، کاهش می‌یابد. هم‌چنین، افزایش بیان این رونوشت به نحو قابل توجهی با عمق تهاجم و متاستاز به دستگاه لنفاتیکی و نقاط دورتر بدن در ارتباط است (۹۲). شناسایی عملکرد GACAT1 در سطح مولکولی، نیازمند انجام مطالعات بیشتر است. با این وجود، همراهی قوی آن با افزایش احتمال وقوع متاستاز، آن را به یک مارکر زیستی بالقوه در تشخیص سرطان معده تبدیل کرده است (۹۲).

SPRTY-IT1 (sprouty homolog 4 intronic transcript 1) یک IncRNA ای است که در ملانوما به صورت غیرطبیعی بیان می‌شود و knockdown کردن SPRTY-IT1 به واسطه siRNA با کاهش در تهاجم و قابلیت حرکت همراه بوده است (۹۳).

است که همراهی قوی با استعداد ابتلا به سرطان پروستات نشان می‌دهد (۱۰۵).

همه lncRNAها با نقش تعیین‌کننده در عملیات تشخیص و پیش‌آگهی، بر فرایندهای سلولی ایجاد کننده فنوتیپ سرطانی، مانند تکثیر، تهاجم و بقا، تاثیر می‌گذارند (۱۰۸-۱۰۶). این امر پیشنهاد می‌کند که تغییر در سطوح بیان این lncRNAها، نه تنها یک علامت ثانویه از سرطان است، بلکه می‌تواند به طور مستقیم در آغاز و یا پیشرفت سرطان دخیل باشد (۱۰۹).

اگرچه ممکن است lncRNAها برای تبدیل شدن به رونوشت بالغ و نهایی خود نیازمند تغییرات پس از رونویسی باشند، یا عملکرد صحیح آن‌ها مستلزم میان‌کنش با پروتئین‌ها باشد، اما اندازه‌گیری بیان آن‌ها به طور مستقیم نشان‌دهنده سطوح مولکول فعال است. در برابر، سطوح mRNA صرفاً به طور غیرمستقیم نشان‌دهنده سطوح محصول عملکردی ژن‌های کد کننده پروتئین است. سطوح lncRNA ممکن است مطابقت بیشتری با موارد ویژه از سرطان داشته باشد، و بنابراین ابزار تشخیصی مفیدتری به شمار رود. همچنین، lncRNAها در کل در مقایسه با ژن‌های کدکننده پروتئین، به میزان قابل توجه‌تری ویژه‌ی نوع سلول هستند (۱۱۰) و ممکن است با نشانه‌گذاری یک جمعیت سلولی ویژه (مانند سلول‌های بنیادی سرطانی)، به ارزیابی ترکیبات سلولی یک تومور کمک شایانی نمایند (۱۱۱). از این رو، استفاده از RNAهای غیر کدکننده در امر پیش‌آگهی، دارای مزیت‌های ذاتی بیشتری از RNAهای کدکننده پروتئین است.

### ژن‌های کاذب

ژن‌های کاذب (pseudogenes) می‌توانند به عنوان زیرگروهی از lncRNAها در نظر گرفته شوند (۱۱۲) که از ژن‌های والدی کدکننده پروتئین‌های عملکردی مشتق شده‌اند (۱۱۳). این ژن‌ها در بسیاری از ویژگی‌ها مانند نقش در ایجاد سرطان و نیز در سازوکار عملکردی خود، مشابه lncRNAها هستند. بیش از ۱۰۰۰۰۰ ژن کاذب متعلق به هر دو رده موجودات پروکاریوتی و یوکاریوتی، در داده پایگاه pseudogene.org قابل مشاهده است (۱۱۴).

### تنظیم نامناسب ژن‌های کاذب در سرطان

ژن‌های کاذب می‌توانند اغلب، بیان ویژه سرطانی را از خود نشان دهند (۱۱۵). به ویژه، آن‌ها می‌توانند در بافت‌های

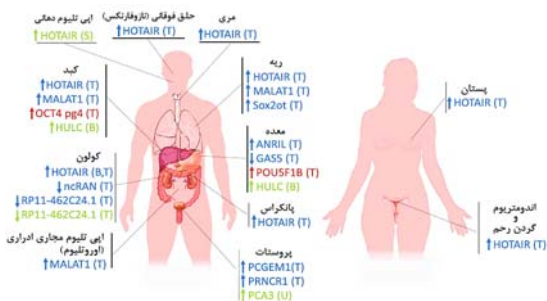
است و برخی از آن‌ها برای استفاده بالینی مورد تایید قرار گرفته‌اند (۹۶). یکی از مزایای اصلی lncRNAها، پایداری بالای آن‌ها و حضورشان در مایعات بدن است، به ویژه زمانی که در ذرات ریزی مانند اگزوزوم‌ها و اجسام آپوتوزی قرار گرفته‌اند (۹۷). بنابراین، با یک نمونه‌گیری کوچک از خون، ادرار، و یا بزاق، و در ادامه با بهره‌گیری از روش Real Time PCR می‌توان مقادیر آن‌ها را اندازه‌گیری کرد (۹۶، ۹۸) (شکل ۱۰). برخی lncRNAها می‌توانند تنها به عنوان یک نشان‌گر زیستی تشخیصی یا تنها به عنوان یک عامل پیش‌آگهی عمل کنند.

برای مثال، یک lncRNA به نام ژن ۳ سرطان پروستات (PCA3)، تا حد زیادی با سرطان پروستات همراهی دارد و به طور رایج در تعیین میزان خطر سرطان پروستات از روی نمونه‌های ادرار (آزمون ادراری Progen PCA3) به کار می‌رود و با کمک این روش می‌توان از بیوپسی‌های غیرضروری پروستات، اجتناب ورزید (۹۹). بیان HOTAIR در تومورهای اولیه و بیماران مبتلا به سرطان پستان به شدت افزایش می‌یابد، و سطوح بیان آن به طور مثبت با پیامد ضعیف همراهی دارد (۶۱). Yang و همکارانش پیشنهاد کردند که سطوح بالای بیان HOTAIR می‌تواند نیز به عنوان یک مارکر زیستی برای پیش‌گیری از عود تومور در بیماران مبتلا به کارسینوما هیپاتوسلولار کمک کند (۱۰۰، ۱۰۱). بیان MALAT-1 در بسیاری از تومورهای سفت افزایش می‌یابد و با متاستاز و عود سرطان همراه است. در کارسینوما هیپاتوسلولار، سطوح MALAT-1 مطابق با مرحله پیشرفته‌ی بیماری است، و به طور برعکس با بقای عاری از بیماری پس از پیوند کبد در ارتباط است (۱۰۲). همچنین، مطالعه‌ای در سال ۲۰۱۴ نشان داد که کاهش بیان RP11-462C24.1 در ارتباط با درجاتی از بدخیمی سرطان کولورکتال است (۱۰۳)، و بنابراین می‌تواند به عنوان یک نشانگر زیستی تشخیصی به کار رود. با این وجود، گاهی به عنوان نشانگر زیستی پیش‌آگهی کننده نیز مورد استفاده قرار می‌گیرد، زیرا بیان آن در سرطان کولورکتال متاستاتیک نسبت به سرطان کولورکتال غیرمتاستاتیک پایین‌تر است (۱۰۳).

افزون بر کاربرد در موارد تشخیصی و عامل پیش‌آگهی، lncRNAها می‌توانند به مثابه نشانگرهای مفید در ارزیابی خطر سرطان عمل کنند. بیان PCGEM1 ویژه‌ی سرطان پروستات به نام PCGEM1، با خطر بالاتری از ابتلا به این سرطان همراه است (۱۰۴). lncRNA، PRNCR1، دیگری

## ژن‌های کاذب به عنوان عامل‌های تشخیصی و پیش‌آگهی

برخی ژن‌های کاذب با بیان ویژه در سرطان شناخته شده‌اند، و بدون شک، این رده از lncRNA ها ابزار تشخیصی و پیش‌آگهی مفیدی برای سرطان هستند (۱۲۴، ۱۲۵). برای نمونه، مقاله‌ای در سال ۲۰۱۵ اظهار داشت که *POU5F1B* که ژن کاذب پردازش شده ژن OCT4 است، در سرطان‌های معده تکثیر می‌شود، و این در حالی است که ژن والدی در تعداد نسخه طبیعی خود باقی می‌ماند (۱۲۴). *POU5F1B* قادر به هدایت رشد تومور است و عامل پیش‌گویی کننده نسبتاً ضعیفی برای مرحله چهارم سرطان معده است. ژن کاذب دیگر مشتق شده از ژن والدی *OCT4-pg4*، *OCT4* است که با اتصال به *miR-145* به عنوان یک اسفنج برای جذب *OCT4* miRNA عمل می‌کند و بدین وسیله خاصیت پرتوانی را در سلول‌ها القا می‌کند. بیان *OCT4-pg4* در سرطان هیپاتوسلولار افزایش یافته، و رشد سلول و تومورزایی را تقویت می‌کند. *OCT4-pg4* نیز پیش‌گویی کننده ضعیفی برای سرطان هیپاتوسلولار به شمار می‌رود (۱۲۵).



**شکل ۱۰.** تعدادی از lncRNA های دارای کاربرد در تشخیص و پیش‌آگهی سرطان. رنگ‌های سبز lncRNA ها با کاربرد در تشخیص سرطان، رنگ‌های آبی lncRNA ها با کاربرد در پیش‌آگهی سرطان و رنگ‌های قرمز ژن‌های کاذب با کاربرد در پیش‌آگهی سرطان را نشان می‌دهند. حروف B، lncRNA های موجود در نمونه خون، حروف S، lncRNA های موجود در نمونه بزاق، حروف T، lncRNA های موجود در نمونه بافت، و حروف U، lncRNA های موجود در نمونه ادرار را به اختصار نشان می‌دهند. پیکان‌های ↑ بیان‌گر مقادیر بالاتر، و ↓ بیان‌گر مقادیر پایین‌تر از حد طبیعی lncRNA های مرتبط با تشخیص یا پیش‌آگهی ویژه هر سرطان هستند (۱۰۹).

**HOTAIR:** HOX antisense intergenic RNA; **MALAT1:** Metastasis associated lung adenocarcinoma transcript 1; **OCT4:** Octamer-binding transcription factor 4; **HULC:** Highly upregulated in liver cancer; **Sox2ot:** SOX2 overlapping transcript; **ANRIL:** Antisense non-coding RNA in the INK4 locus; **GASS5:** Growth arrest-specific 5; **POU5F1B:** POU class 5 homeobox 1B; **PCGEM1:** Prostate-specific transcript 1; **PRNCRI:** Prostate Cancer Associated Non-Coding RNA 1; **PCA3:** Prostate cancer antigen 3

توموری در مقایسه با بافت‌های طبیعی، کاهش یا افزایش بیان نشان دهند. هم‌چنین، بیان آن‌ها می‌تواند تنها به بافت توموری محدود شود (۱۱۶، ۱۱۷) (شکل ۱۰). شباهت زیاد بین ژن‌های کاذب و ژن‌های والدی آن‌ها، احتمال تبادل DNA بین آن‌ها را افزایش می‌دهد که معمولاً به انتقال جهش‌هایی از ژن‌های کاذب به داخل ژن‌های والدی کد کننده منجر می‌شود و بر عملکرد پروتئین کد شده از آن تاثیر می‌گذارد (۱۱۸). در نهایت، تبادل DNA بین ژن کاذب و ژن والدی آن می‌تواند به غیرفعال شدن ژن‌های سرکوبگر تومور (مانند BRCA1) (۱۱۹)، و یا فعال شدن انکوژن‌ها منجر شود.

در سطح RNA، ژن‌های کاذب می‌توانند بیان انکوژن‌ها یا ژن‌های سرکوبگر تومور را تحت تاثیر قرار دهند، به نحوی که به عنوان اسفنجی برای جذب miRNA ها و یا پروتئین‌های متصل شونده به RNA (RBP) عمل می‌کنند (۱۱۵). در حالت اول، ژن‌های کاذب می‌توانند عملکرد مجموعه‌ای از miRNA های را توقیف کنند که با اتصال به مکان‌های ویژه اتصال خود (microRNA-) binding elements (MREs) بر روی RNA های کد کننده و غیر کد کننده، سبب کاهش بیان آن‌ها می‌شوند. این سازوکار تنظیمی اولین بار توسط Poliseno و همکارانش، در مورد ژن والد/ژن کاذب *PTEN/PTENP1* مشاهده شد (۱۲۰، ۱۲۱). حالت مشابه زمانی رخ می‌دهد که ژن‌های کاذب به عنوان اسفنج جذب کننده برای پروتئین‌های متصل شونده به RNA عمل کنند. بسته به عملکرد پروتئین، آن‌ها می‌توانند ترجمه ژن‌هایی را که دارای توالی‌های مشترک اتصال به آن پروتئین هستند را فعال یا مهار کنند.

در سطح پروتئین، ژن‌های کاذب پردازش شده می‌توانند پروتئین‌هایی را کد کنند که اغلب جهش یافته یا کوتاه شده‌اند. به این پروتئین‌ها، پروتئین‌های کاذب گفته می‌شود که می‌توانند فعالیت تغییر یافته‌ای نسبت به نوع طبیعی داشته باشند (۱۲۱، ۱۲۲). ژن‌های کاذب پردازش شده تحت کنترل یک پروموتور متفاوت از پروموتور اصلی است، و پروتئین‌های کد شده از روی آن‌ها می‌توانند در بافت‌ها، سلول‌ها، و شرایط متفاوتی از ژن اصلی بیان شوند (۱۰۹). برای نمونه، در طی میوز مردان و تشکیل جسم XY (XY body)، ژن‌های موجود بر روی کروموزوم X برای حدود ۱۵ روز هیچ بیانی ندارند. در روند تکامل، چند ژن کاذب پردازش شده مشتق از شماری از ژن‌های ضروری حاضر بر روی کروموزوم X، به واسطه وقوع *retrotransposition* mRNA، بر روی کروموزوم‌های اتوزوم تعبیه شده‌اند تا فقدان رونویسی از روی ژن‌های اصلی را جبران نمایند (۱۲۳).

## جمع بندی

lncRNA در پیدایش سرطان و متاستاز تومور، پیشنهاد می‌کنند که خطر ابتلا به سرطان را تا حدود زیادی می‌توان به lncRN‌هایی نسبت داد که از جایگاه‌های بحرانی مرتبط با سرطان رونویسی می‌شوند. شناسایی و بررسی ژن‌های کد کننده lncRNA و پرده‌برداری از عملکرد محصولات آن‌ها، کاربرد آن‌ها را در زمینه تشخیص و پیش‌آگهی سرطان، و نظارت بر توسعه این وضعیت مهلك گسترش داده است.

lncRNA‌ها، دارای عملکردهای حیاتی در کنترل رشد، تقسیم و تمایز سلول هستند، و اختلال در بیان این مولکول‌ها می‌تواند در تکوین و پیش‌برد سرطان نقش تعیین‌کننده‌ای داشته باشد. با وجود آن‌که بخش بزرگی از استعداد ابتلا به سرطان توارث‌پذیر است، اجزای زمینه‌ساز ژنتیکی سرطان تا حدود زیادی ناشناخته هستند. پژوهش‌های انجام شده پیرامون نقش مولکول‌های

**REFERENCES**

- Rossi S, Sevignani C, Nnadi SC, Siracusa LD and Calin GA. Cancer-associated genomic regions (CAGRs) and noncoding RNAs: bioinformatics and therapeutic implications. *Mamm Genome* 2008; 19: 526–40.
- Calin GA, Liu CG, Ferracin M, Hyslop T, Spizzo R, Sevignani C, et al. Ultraconserved regions encoding ncRNAs are altered in human leukemias and carcinomas. *Cancer Cell* 2007; 12: 215–29.
- Noori-Dalooi MR, Eshaghkhani Y. lncRNAs: significance and function mechanisms. *The Journal of Medical Science of Azad Islamic University* 2015; 25: 79-94. [In Persian]
- Cheetham SW, Gruhl F, Mattick JS and Dinger ME. Long noncoding RNAs and the genetics of cancer. *Br J Cancer* 2013; 108: 2419–25.
- Jendrzewski J, He H, Radomska HS, Li W, Tomsic J, Liyanarachchi S, et al. The polymorphism rs944289 predisposes to papillary thyroid carcinoma through a large intergenic noncoding RNA gene of tumor suppressor type. *Proc Natl Acad Sci USA* 2012; 109: 8646–51.
- Pasmant E, Sabbagh A, Vidaud M, Bieche I. ANRIL, a long noncoding RNA, is an unexpected major hotspot in GWAS. *FASEB J* 2011; 25:444–48.
- Cunnington MS, Santibanez Koref M, Mayosi BM, Burn J, Keavney B. Chromosome 9p21 SNPs associated with multiple disease phenotypes correlate with ANRIL expression. *PLoS Genet* 2010; 6:e1000899.
- Cariaso M, Lennon G. SNPedia: a wiki supporting personal genome annotation, interpretation and analysis. *Nucleic Acids Res* 2012; 40:D1308–12.
- Chung S, Nakagawa H, Uemura M, Piao L, Ashikawa K, Hosono N, et al. Association of a novel long non-coding RNA in 8q24 with prostate cancer susceptibility. *Cancer Sci* 2011; 102: 245–52.
- Mercer TR, Gerhardt DJ, Dinger ME, Crawford J, Trapnell C, Jeddloh JA, et al. Targeted RNA sequencing reveals the deep complexity of the human transcriptome. *Nat Biotechnol* 2012; 30: 99–104.
- Cheung HH, Lee TL, Davis AJ, Taft DH, Rennert OM, Chan WY. Genome-wide DNA methylation profiling reveals novel epigenetically regulated genes and non-coding RNAs in human testicular cancer. *Br J Cancer* 2010; 102: 419–27.
- Prensner JR, Iyer MK, Balbin OA, Dhanasekaran SM, Cao Q, Brenner JC, et al. Transcriptome sequencing identifies PCAT-1, a novel lincRNA implicated in prostate cancer progression. *Nat Biotechnol* 2012; 29:742–49.
- Sang X, Zhao H, Lu X, Mao Y, Miao R, Yang H, et al. Prediction and identification of tumor-specific noncoding RNAs from human UniGene. *Med Oncol* 2010; 27: 894–98.
- Trapnell C, Williams BA, Pertea G, Mortazavi A, Kwan G, van Baren MJ. Transcript assembly and quantification by RNA-Seq reveals unannotated transcripts and isoforms switching during cell differentiation. *Nat Biotechnol* 2010; 28: 511–15.
- Wu G, Cai J, Han Y, Chen J, Huang ZP, Chen C, et al. lincRNA-p21 regulates neointima formation, vascular smooth muscle cell proliferation, apoptosis, and atherosclerosis by enhancing p53 activity. *Circulation* 2014; 130:1452-65.
- Huarte M, Guttman M, Feldser D, Garber M, Koziol MJ, Kenzelmann-Broz D, et al. A large intergenic noncoding RNA induced by p53 mediates global gene repression in the p53 response. *Cell* 2010; 142: 409–19.
- Yoon JH, Abdelmohsen K, Srikantan S, Yang X, Martindale JL, De S, et al. lincRNA-p21 suppresses target mRNA translation. *Mol Cell* 2012; 47:648–55.
- Hung T, Wang Y, Lin MF, Koegel AK, Kotake Y, Grant GD, et al. Extensive and coordinated transcription of noncoding RNAs within cell-cycle promoters. *Nat Genet* 2011; 43: 621–29.

19. Morachis JM, Murawsky CM, Emerson BM. Regulation of the p53 transcriptional response by structurally diverse core promoters. *Genes Dev* 2010; 24: 135–47.
20. Frevel MA, Sowerby SJ, Petersen GB, Reeve AE. Methylation sequencing analysis refines the region of H19 epimutation in Wilms tumor. *J Biol Chem* 1999; 274: 29331–40.
21. Mattick JS. The genetic signatures of noncoding RNAs. *PLoS Genet* 2009; 5: e1000459.
22. Poliseno L, Salmena L, Zhang J, Carver B, Haveman WJ, Pandolfi PP. A coding-independent function of gene and pseudogene mRNAs regulates tumour biology. *Nature* 2010; 465: 1033–38.
23. Luo M, Li Z, Wang W, Zeng Y, Liu Z, Qiu J. Upregulated H19 contributes to bladder cancer cell proliferation by regulating ID2 expression. *Febs J* 2013; 280: 1709–16.
24. Ayesh S, Matouk I, Schneider T, Ohana P, Laster M, Al-Sharef W, et al. Possible physiological role of H19 RNA. *Mol Carcinog* 2002; 35: 63–74.
25. Matouk IJ, DeGroot N, Mezan S, Ayesh S, Abu-lail R, Hochberg A, et al. The H19 non-coding RNA is essential for human tumor growth. *PLoS One* 2007; 2: e845.
26. Keniry A, Oxley D, Monnier P, Kyba M, Dandolo L, Smits G, et al. The H19 lincRNA is a developmental reservoir of miR-675 that suppresses growth and Igf1r. *Nat Cell Biol* 2012; 14: 659–65.
27. Martens-Uzunova ES, Böttcher R, Croce CM, Jenster G, Visakorpi T, Calin GA. Long noncoding RNA in prostate, bladder, and kidney cancer. *Eur Urol* 2014; 65: 1140–51.
28. Zhang X, Rice K, Wang Y, Chen W, Zhong Y, Nakayama Y, et al. Maternally expressed gene 3 (MEG3) noncoding ribonucleic acid: Isoform structure, expression, and functions. *Endocrinology*. 2010; 151, 939–947.
29. Zhang X, Zhou Y, Mehta KR, Danila DC, Scolavino S, Johnson SR, et al. A pituitary-derived MEG3 isoform functions as a growth suppressor in tumor cells. *J Clin Endocrinol Metab* 2003; 88: 5119–26.
30. Zhang X, Gejman R, Mahta A, Zhong Y, Rice KA, Zhou Y, et al. Maternally expressed gene 3, an imprinted noncoding RNA gene, is associated with meningioma pathogenesis and progression. *Cancer Res* 2010; 70: 2350–58.
31. Zhou Y, Zhong Y, Wang Y, Zhang X, Batista DL, Gejman R, et al. Activation of p53 by MEG3 non-coding RNA. *J Biol Chem* 2007; 282: 24731–742.
32. Zhou Y, Zhang X, Klibanski A. MEG3 noncoding RNA: a tumor suppressor. *J Mol Endocrinol* 2012; 48: R45–53.
33. Hu W, Yuan B, Flygare J, Lodish HF. Long noncoding RNA-mediated anti-apoptotic activity in murine erythroid terminal differentiation. *Genes Dev* 2011; 25: 2573–78.
34. Flygare J, Rayon Estrada V, Shin C, Gupta S, Lodish HF. HIF1alpha synergizes with glucocorticoids to promote BFU-E progenitor self-renewal. *Blood* 2011; 117: 3435–44.
35. Ohtsuka T, Ryu H, Minamishima YA, Macip S, Sagara J, Nakayama KI, et al. ASC is a Bax adaptor and regulates the p53-Bax mitochondrial apoptosis pathway. *Nat Cell Biol* 2004; 6: 121–28.
36. Ohtsuka T, Mitsuno M, Kitajima Y, Ide T, Lee SW, Miyazaki K. Role of ASC in hypoxia-mediated cell death in pancreatic cancer. *Mol Med Report* 2008; 1: 827–31.
37. Paralkar VR, Weiss MJ. A new “Linc” between noncoding RNAs and blood development. *Genes Dev* 2011; 25: 2555–58.
38. Pasic I, Shlien A, Durbin AD, Stavropoulos DJ, Baskin B, Ray PN, et al. Recurrent focal copy-number changes and loss of heterozygosity implicate two noncoding RNAs and one tumor suppressor gene at chromosome 3q13.31 in osteosarcoma. *Cancer Res* 2010; 70: 160–71.
39. Liu Q, Huang J, Zhou N, Zhang Z, Zhang A, Lu Z, et al. LncRNA loc285194 is a p53-regulated tumor suppressor. *Nucl Acids Res* 2013; 41: 4976–87.
40. Fan M, Li X, Jiang W, Huang Y, Li J, Wang Z. A long non-coding RNA, PTCSC3, as a tumor suppressor and a target of miRNAs in thyroid cancer cells. *Exp Ther Med* 2013; 5: 1143–46.
41. Marín-Béjar O, Marchese FP, Athie A, Sánchez Y, González J, Segura V, et al. Pint lincRNA connects the p53 pathway with epigenetic silencing by the Polycomb repressive complex 2. *Genome Biol* 2013; 14: R104.
42. Zhang A, Zhou N, Huang J, Liu Q, Fukuda K, Ma D, et al. The human long non-coding RNA-RoR is a p53 repressor in response to DNA damage. *Cell Res* 2013; 23: 340–50.



43. Ji P, Diederichs S, Wang W, Böing S, Metzger R, Schneider PM, et al. MALAT-1, a novel noncoding RNA, and thymosin beta4 predict metastasis and survival in early-stage non-small cell lung cancer. *Oncogene*. 2003; 22:8031–41.
44. Ren S, Peng Z, Mao JH, Yu Y, Yin C, Gao X, et al. RNA-seq analysis of prostate cancer in the Chinese population identifies recurrent gene fusions, cancer-associated long noncoding RNAs and aberrant alternative splicings. *Cell Res* 2012; 22:806–21.
45. Han Y, Liu Y, Nie L, Gui Y, Cai Z. Inducing cell proliferation inhibition, apoptosis, and motility reduction by silencing long noncoding ribonucleic acid metastasis-associated lung adenocarcinoma transcript 1 in urothelial carcinoma of the bladder. *Urology* 2013; 81:209.
46. Ying L, Chen Q, Wang Y, Zhou Z, Huang Y, Qiu F. Upregulated MALAT-1 contributes to bladder cancer cell migration by inducing epithelial- to-mesenchymal transition. *Mol Biosyst* 2012; 8:2289–94.
47. Lin R, Maeda S, Liu C, Karin M, Edgington TS. A large noncoding RNA is a marker for murine hepatocellular carcinomas and a spectrum of human carcinomas. *Oncogene* 2006; 26:851–58.
48. Davis IJ, Hsi BL, Arroyo JD, Vargas SO, Yeh YA, Motyckova G, et al. Cloning of an alpha-TFEB fusion in renal tumors harboring the t(6;11)(p21;q13) chromosome translocation. *Proc Natl Acad Sci USA* 2003; 100:6051–56.
49. Kuiper RP, Schepens M, Thijssen J, van Asseldonk M, van den Berg E, Bridge J, et al. Upregulation of the transcription factor TFEB in t(6;11)(p21;q13)-positive renal cell carcinomas due to promoter substitution. *Hum Mol Genet* 2003; 12:1661–69.
50. Yang L, Lin C, Liu W, Zhang J, Ohgi KA, Grinstein JD, et al. ncRNA- and Pc2 methylation-dependent gene relocation between nuclear structures mediates gene activation programs. *Cell*. 2011; 147:773–88.
51. Han Y, Liu Y, Gui Y, Cai Z. Long intergenic non-coding RNA TUG1 is overexpressed in urothelial carcinoma of the bladder. *J Surg Oncol*. 2013; 107:555–9.
52. Huang J, Zhou N, Watabe K, Lu Z, Wu F, Xu M, et al. Long non-coding RNA UCA1 promotes breast tumor growth by suppression of p27 (Kip1). *Cell Death Dis* 2014; e1008.
53. Wang F, Li X, Xie X, Zhao L, Chen W. UCA1, a non-protein-coding RNA up-regulated in bladder carcinoma and embryo, influencing cell growth and promoting invasion. *FEBS Lett* 2008; 582:1919–27.
54. Yang C, Li X, Wang Y, Zhao L, Chen W. Long non-coding RNA UCA1 regulated cell cycle distribution via CREB through PI3-K dependent pathway in bladder carcinoma cells. *Gene* 2012; 496:8–16.
55. Wang Y, Chen W, Yang C, Wu W, Wu S, Qin X, et al. Long non-coding RNA UCA1a(CUDR) promotes proliferation and tumorigenesis of bladder cancer. *Int J Oncol* 2012; 41:276–84.
56. Wang J, Liu X, Wu H, Ni P, Gu Z, Qiao Y, et al. CREB upregulates long non-coding RNA, HULC expression through interaction with microRNA-372 in liver cancer. *Nucleic Acids Res* 2010; 38:5366-83.
57. Du Y, Kong G, You X, Zhang S, Zhang T, Gao Y, et al. Elevation of highly up-regulated in liver cancer (HULC) by hepatitis B virus X protein promotes hepatoma cell proliferation via down-regulating p18. *J Biol Chem* 2012; 287:26302-11.
58. Panzitt K, Tschernatsch MM, Guelly C, Moustafa T, Stradner M, Strohmaier HM, et al. Characterization of HULC, a novel gene with striking up-regulation in hepatocellular carcinoma, as noncoding RNA. *Gastroenterology* 2007; 132:330-42.
59. Zhao J, Greene CM, Gray SG, Lawless MW. Long noncoding RNAs in liver cancer: what we know in 2014. *Expert Opin Ther Targets* 2014;18:1207-18.
60. Hu X, Feng Y, Zhang D, Zhao SD, Hu Z, Greshock J, et al. A functional genomic approach identifies FAL1 as an oncogenic long noncoding RNA that associates with BMI1 and represses p21 expression in cancer. *Cancer Cell* 2014; 26:344–57.
61. Rinn JL, Kertesz M, Wang JK, Squazzo SL, Xu X, Bruggmann SA, et al. Functional demarcation of active and silent chromatin domains in human HOX loci by noncoding RNAs. *Cell* 2007; 129:1311–23.
62. Khalil AM, Guttman M, Huarte M, Garber M, Raj A, Rivea Morales D, et al. Many human large intergenic noncoding RNAs associate with chromatin-modifying complexes and affect gene expression. *Proc Natl Acad Sci USA* 2009; 106:11667–72.
63. Tsai MC, Manor O, Wan Y, Mosammamaparast N, Wang JK, Lan F, et al. Long noncoding RNA as modular scaffold of histone modification complexes. *Science* 2010; 329:689–93.

64. Gupta RA, Shah N, Wang KC, Kim J, Horlings HM, Wong DJ, et al. Long non-coding RNA HOTAIR reprograms chromatin state to promote cancer metastasis. *Nature* 2010; 464:1071–76.
65. Lal A, Thomas MP, Altschuler G, Navarro F, O'Day E, Ling Li X, et al. Capture of microRNA-bound mRNAs identifies the tumor suppressor miR-34a as a regulator of growth factor signaling. *PLoS Genet* 2011; 7:e1002363.
66. Yoon JH, Abdelmohsen K, Kim J, Yang X, Martindale JL, Tominaga-Yamanaka K, et al. Scaffold function of long non-coding RNA HOTAIR in protein ubiquitination. *Nat Commun* 2013; 4:2939.
67. Pandey GK, Mitra S, Subhash S, Hertwig F, Kanduri M, Mishra K, et al. The Risk-Associated Long Noncoding RNA NBAT-1 controls neuroblastoma progression by regulating cell proliferation and neuronal differentiation. *Cell* 2014; 26:722–37.
68. Prensner JR, Chinnaiyan AM. The emergence of lncRNAs in cancer biology. *Cancer Discovery* 2011; 1:391–407.
69. Noori-Daloi MR, Ed. Medical molecular genetics in the third millennium. Tehran: Samer Publishing; 2012.
70. Noori-Daloi MR, Ed. Emery's elements of medical genetics. 6th ed. Tehran: Jamee-e-negar and Salemi publishing; 2012.
71. Serviss JT, Johnsson P, Grandér D. An emerging role for long non-coding RNAs in cancer metastasis. *Front Genet* 2014; 5: 234.
72. Sanford JR, Wang X, Mort M, Vanduy N, Cooper DN, Mooney SD, et al. Splicing factor SFRS1 recognizes a functionally diverse landscape of RNA transcripts. *Genome Res* 2009; 19:381–94.
73. Tripathi V, Ellis JD, Shen Z, Song DY, Pan Q, Watt AT, et al. The nuclear-retained noncoding RNA MALAT1 regulates alternative splicing by modulating SR splicing factor phosphorylation. *Mol Cell* 2010; 39:925–38.
74. Watson AP, Egland KA. Pathways to personalized medicine for breast and prostate cancers: emerging diagnostic methods and prognostic biomarkers. *S D Med* 2010; 63:247–53.
75. Menghi F, Jacques TS, Barenco M, Schwalbe EC, Clifford SC, Hubank M, et al. Genome-wide analysis of alternative splicing in medulloblastoma identifies splicing patterns characteristic of normal cerebellar development. *Cancer Res* 2011; 71:2045–55.
76. Ayesh S, Matouk I, Schneider T, Ohana P, Laster M, Al-Sharef W, et al. Possible physiological role of H19 RNA. *Mol Carcinog* 2002; 35:63–74.
77. Matouk IJ, DeGroot N, Mezan S, Ayesh S, Abu-lail R, Hochberg A, et al. The H19 non-coding RNA is essential for human tumor growth. *PLoS ONE* 2007; 2:e845.
78. Luo M, Li Z, Wang W, Zeng Y, Liu Z, and Qiu J. Long non-coding RNA H19 increases bladder cancer metastasis by associating with EZH2 and inhibiting E-cadherin expression. *Cancer Lett* 2013; 333:213–21.
79. Dugimont T, Curgy JJ, Wernert N, Delobelle A, Raes MB, Joubel A, et al. The H19 gene is expressed within both epithelial and stromal components of human invasive adenocarcinomas. *Biol Cell* 1995; 85:117–24.
80. Adriaenssens E, Lottin S, Berteaux N, Hornez L, Fauquette W, Fafeur V, et al. Cross-talk between mesenchyme and epithelium increases H19 gene expression during scattering and morphogenesis of epithelial cells. *Exp Cell Res* 2002; 275:215–29.
81. Yang J, Mani SA, Donaher JL, Ramaswamy S, Itzykson RA, Come C, et al. Twist, a master regulator of morphogenesis, plays an essential role in tumor metastasis. *Cell* 2004; 117:927–39.
82. Riaz M, Berns EM, Sieuwerts AM, Ruigrok-Ritstier K, deWeerd V, Groenewoud A, et al. Correlation of breast cancer susceptibility loci with patient characteristics, metastasis-free survival, and mRNA expression of the nearest genes. *Breast Cancer Res Treat* 2012; 133:843–51.
83. Geng YJ, Xie SL, Li Q, Ma J, and Wang GY. Large intervening non-coding RNA HOTAIR is associated with hepatocellular carcinoma progression. *J Int Med Res* 2011; 39:2119–28.
84. Nakagawa T, Endo H, Yokoyama M, Abe J, Tamai K, Tanaka N, et al. Large noncoding RNA HOTAIR enhances aggressive biological behavior and is associated with short disease-free survival in human non-small cell lung cancer. *Biochem Biophys Res Commun* 2013; 436:319–24.
85. Niinuma T, Suzuki H, Nojima M, Noshio K, Yamamoto H, Takamaru H, et al. Upregulation of miR-196a and HOTAIR drive malignant character in gastrointestinal stromal tumors. *Cancer Res* 2012; 72:1126–36.
86. Liu XH, Sun M, Nie FQ, Ge YB, Zhang EB, Yin DD, et al. Lnc RNA HOTAIR functions as a competing endogenous RNA to regulate HER2 expression by sponging miR-331-3p in gastric cancer. *Mol Cancer* 2014; 13:92.

87. Yonemura Y, Ninomiya I, Yamaguchi A, Fushida S, Kimura H, Ohoyama S, et al. Evaluation of immunoreactivity for erbB-2 protein as a marker of poor short term prognosis in gastric cancer. *Cancer Res* 1991; 51:1034–38.
88. Prensner JR, Iyer MK, Balbin OA, Dhanasekaran SM, Cao Q, Brenner JC, et al. Transcriptome sequencing across a prostate cancer cohort identifies PCAT-1, an unannotated lincRNA implicated in disease progression. *Nat Biotechnol* 2011; 29:742–49.
89. Ge X, Chen Y, Liao X, Liu D, Li F, Ruan H, et al. Overexpression of long noncoding RNA PCAT-1 is a novel biomarker of poor prognosis in patients with colorectal cancer. *Med Oncol* 2013; 30:588.
90. Yang F, Huo XS, Yuan SX, Zhang L, Zhou WP, Wang F, et al. Repression of the long noncoding RNA-LET by histone deacetylase 3 contributes to hypoxia-mediated metastasis. *Mol Cell* 2013; 49:1083–96.
91. Ling H, Spizzo R, Atlasi Y, Nicoloso M, Shimizu M, Redis R, et al. CCAT2, a novel non-coding RNA mapping to 8q24, underlies metastatic progression and chromosomal instability in colon cancer. *Genome Res* 2013; 23:1446–61.
92. Sun W, Wu Y, Yu X, Liu Y, Song H, Xia T, et al. Decreased expression of long noncoding RNA AC096655.1-002 in gastric cancer and its clinical significance. *Tumour Biol* 2013; 34:2697–01.
93. Khaitan D, Dinger ME, Mazar J, Crawford J, Smith MA, Mattick JS, et al. The melanoma-upregulated long noncoding RNA SPRY4-IT1 modulates apoptosis and invasion. *Cancer Res* 2011; 71:3852–62.
94. Yuan JH, Yang F, Wang F, Ma JZ, Guo YJ, Tao QF, et al. A long noncoding RNA activated by TGF-beta promotes the invasion-metastasis cascade in hepatocellular carcinoma. *Cancer Cell* 2014; 25:666–81.
95. Cruickshanks HA, Vafadar-Isfahani N, Dunican DS, Lee A, Sproul D, Lund JN, et al. Expression of a large LINE-1-driven antisense RNA is linked to epigenetic silencing of the metastasis suppressor gene TFPI-2 in cancer. *Nucleic Acids Res* 2013; 41:6857–69.
96. Sartori DA, Chan DW. Biomarkers in prostate cancer: what's new? *Curr Opin Oncol* 2014; doi:10.1097/CCO.0000000000000065.
97. Akers JC, Gonda D, Kim R, Carter BS, Chen CC. Biogenesis of extracellular vesicles (EV): exosomes, microvesicles, retrovirus-like vesicles, and apoptotic bodies. *J Neurooncol* 2013; 113:1–11.
98. Tang H, Wu Z, Zhang J, Su B. Salivary lncRNA as a potential marker for oral squamous cell carcinoma diagnosis. *Mol Med Rep* 2013; 7:761–66.
99. de la Taille A. Progensis PCA3 test for prostate cancer detection. *Expert Rev Mol Diagn.* 2007; 7:491–497.
100. Yang Z, Zhou L, Wu LM, Lai MC, Xie HY, Zhang F, et al. Overexpression of long non-coding RNA HOTAIR predicts tumor recurrence in hepatocellular carcinoma patients following liver transplantation. *Ann Surg Oncol* 2011; 18:1243–50.
101. Noori-Dalooi MR, Alizadeh F. Prognostic molecular markers in hepatocarcinoma, a review article. *Hormozgan Medical Journal* 2011; 15:74-85. [In Persian]
102. Lai MC, Yang Z, Zhou L, Zhu QQ, Xie HY, Zhang F, et al. Long non-coding RNA MALAT-1 overexpression predicts tumor recurrence of hepatocellular carcinoma after liver transplantation. *Med Oncol* 2012; 29:1810-16.
103. Shi D, Zheng H, Zhuo C, Peng J, Li D, Xu Y, et al. Low expression of novel lncRNA RP11-462C24.1 suggests a biomarker of poor prognosis in colorectal cancer. *Med Oncol* 2014;31:31
104. Petrovics G, Zhang W, Makarem M, Street JP, Connelly R, Sun L, et al. Elevated expression of PCGEM1, a prostate-specific gene with cell growth-promoting function, is associated with high-risk prostate cancer patients. *Oncogene* 2004; 23:605–11.
105. Chung S, Nakagawa H, Uemura M, Piao L, Ashikawa K, Hosono N, et al. Association of a novel long non-coding RNA in 8q24 with prostate cancer susceptibility. *Cancer Sci* 2011; 102:245–52.
106. Han Y, Liu Y, Nie L, Gui Y, Cai Z. Inducing cell proliferation inhibition, apoptosis, and motility reduction by silencing long noncoding ribonucleic acid metastasis-associated lung adenocarcinoma transcript 1 in urothelial carcinoma of the bladder. *Urology* 2013; 81:209.
107. Qi P, Xu MD, Ni SJ, Shen XH, Wei P, Huang D, et al. Down-regulation of ncRAN, a long non-coding RNA, contributes to colorectal cancer cell migration and invasion and predicts poor overall survival for colorectal cancer patients. *Mol Carcinog* 2015;54:742-50.
108. Ono H, Motoi N, Nagano H, Miyauchi E, Ushijima M, Matsuura M, et al. Long noncoding RNA HOTAIR is relevant to cellular proliferation, invasiveness, and clinical relapse in small-cell lung cancer. *Cancer Med* 2014;3:632-42.

109. Vitiello M, Tuccoli A, Polisenio L. Long non-coding RNAs in cancer: implications for personalized therapy. *Cell Oncol (Dordr)* 2015;38:17-28.
110. Cabili MN, Trapnell C, Goff L, Koziol M, Tazon-Vega B, Regev A, et al. Integrative annotation of human large intergenic noncoding RNAs reveals global properties and specific subclasses. *Genes Dev* 2011; 25:1915-27.
111. Chan KC, Jiang P, Zheng YW, Liao GJ, Sun H, Wong J. Cancer genome scanning in plasma: detection of tumor-associated copy number aberrations, single-nucleotide variants, and tumoral heterogeneity by massively parallel sequencing. *Clin Chem* 2013; 59:211-24.
112. Consortium EP, Bernstein BE, Birney E, Dunham I, Green ED, Gunter C, et al. An integrated encyclopedia of DNA elements in the human genome. *Nature* 2012; 489:57-74.
113. Polisenio L. Pseudogenes: newly discovered players in human cancer. *Sci Signal* 2012; 5:e5.
114. Esnault C, Maestre J, Heidmann T. Human LINE retrotransposons generate processed pseudogenes. *Nat Genet* 2000; 24:363-67.
115. Kalyana-Sundaram S, Kumar-Sinha C, Shankar S, Robinson DR, Wu YM, Cao X, et al. Expressed pseudogenes in the transcriptional landscape of human cancers. *Cell* 2012; 149:1622-34.
116. Hwang SL, Chang JH, Cheng CY, Howng SL, Sy WD, Lieu AS, et al. The expression of rac1 pseudogene in human tissues and in human brain tumors. *Eur Surg Res* 2005; 37:100-104.
117. Rieger MA, Ebner R, Bell DR, Kiessling A, Rohayem J, Schmitz M, et al. Identification of a novel mammary-restricted cytochrome P450, CYP4Z1, with overexpression in breast carcinoma. *Cancer Res* 2004; 64:2357- 64.
118. Wang J, Pitarque M, Ingelman-Sundberg M. 3'-UTR polymorphism in the human CYP2A6 gene affects mRNA stability and enzyme expression. *Biochem Biophys Res Commun* 2006; 340:491-97.
119. Puget N, Gad S, Perrin-Vidoz L, Sinilnikova OM, Stoppa-Lyonnet D, Lenoir GM, et al. Distinct BRCA1 rearrangements involving the BRCA1 pseudogene suggest the existence of a recombination hot spot. *Am J Hum Genet* 2002; 70:858-65.
120. Panzitt K, Tschernatsch MM, Guelly C, Moustafa T, Stradner M, Strohmaier HM, et al. Characterization of HULC, a Novel Gene With Striking Up-Regulation in Hepatocellular Carcinoma, as Noncoding RNA. *Gastroenterology* 2007; 132:330-42.
121. Takahashi K, Mitsui K, Yamanaka S. Role of ERAs in promoting tumour-like properties in mouse embryonic stem cells. *Nature* 2003; 423:541-45.
122. Zou M, Baitei EY, Alzahrani AS, Al-Mohanna F, Farid NR, Meyer B, et al. Oncogenic activation of MAP kinase by BRAF pseudogene in thyroid tumors. *Neoplasia* 2009; 11:57-65.
123. Strachan T, Read A, Eds. *Human molecular genetics*. 4th edition. New York: Garland Science; 2011.
124. Hayashi H, Arao T, Togashi Y, Kato H, Fujita Y, De Velasco MA, et al. The OCT4 pseudogene POU5F1B is amplified and promotes an aggressive phenotype in gastric cancer. *Oncogene* 2015; 34:199-208.
125. Wang L, Guo ZY, Zhang R, Xin B, Chen R, Zhao J, et al. Pseudogene OCT4-pg4 functions as a natural micro RNA sponge to regulate OCT4 expression by competing for miR-145 in hepatocellular carcinoma. *Carcinogenesis* 2013; 34:1773- 81.